

**SINTESIS ZEOLIT DARI ABU LAYANG (*Fly Ash*) DENGAN METODE
HIDROTERMAL DAN UJI ADSORBTIVITAS TERHADAP
LOGAM TEMBAGA (Cu)**



Skripsi

Diajukan Untuk Memenuhi Salah Satu Syarat Untuk Meraih Gelar Sarjana (S1)
dalam Ilmu Sains Jurusan Kimia Fakultas Sains dan Teknologi
UIN Alauddin Makassar

Oleh:

MARWAN KADIR TUALEKA

NIM: 60500112048

ALAUDDIN
M A K A S S A R

**FAKULTAS SAINS DAN TEKNOLOGI
UNIVERSITAS ISLAM NEGERI ALAUDDIN
MAKASSAR**

2016

PENGESAHAN SKRIPSI

Skripsi yang berjudul, "**Sintesis Zeolit Dari Abu Layang (Fly Ash) Dengan Metode Hidrotermal Dan Uji Adsorptivitas Terhadap Logam Tembaga (Cu)**", yang disusun oleh **Marwan Kadir Tualeka**, NIM: 60500112048, mahasiswa Jurusan Kimia Fakultas Sains dan Teknologi UIN Alauddin Makassar, telah diuji dan dipertahankan dalam sidang munaqasyah yang diselenggarakan pada hari kamis 24 November 2016 M, bertepatan dengan 24 Rabi'ul Akhir 1438 H, dinyatakan telah dapat diterima sebagai salah satu syarat untuk memperoleh gelar Sarjana dalam bidang Kimia, Fakultas Sains dan Teknologi, Jurusan Kimia (dengan beberapa perbaikan).

Makassar, 24 Desember 2016 M.
24 Rabi'ul Akhir 1438 H.

DEWAN PENGUJI:

Ketua	: Prof.Dr.H. Arifuddin, M.Ag	(.....)
Sekretaris	: H. Asri saleh, S.T., M.Si	(.....)
Munaqisy I	: Aisyah, S.Si., M.Si	(.....)
Munaqisy II	: Dra. Sitti Chadijah, M.Si	(.....)
Munaqisy III	: Prof.Dr.H.M. Ghalib. M, M.A	(.....)
Pembimbing I	: Syamsidar HS, S.T., M.Si	(.....)
Pembimbing II	: Kurnia Ramadani, S.Si., M.Pd	(.....)

Diketahui oleh:

Dekan fakultas sains Dan Teknologi
UIN Alauddin Makassar,


Prfof.Dr.H. Arifuddin, M.Ag
NIP. 19691205 199303 1 001

KATA PENGANTAR



Assalamualaikum Wr. Wb.

Alhamdulillah, Segala puji dan syukur penulis panjatkan kehadirat Allah SWT karena limpahan nikmat, rahmat, hidayah dan karunia-Nya sehingga skripsi dengan judul **“Sintesis Zeolit Dari abu Layang (*Fly Ash*) Dengan Metode Hidrotermal Dan Uji Adsorbtivitas Terhadap Logam Tembaga (Cu)”** ini dapat terselesaikan dengan penuh perjuangan dan doa, sekaligus menjadi syarat untuk menyelesaikan pendidikan strata satu di Fakultas Sains dan Teknologi UIN Alauddin Makassar.

Shalawat serta salam kita haturkan kepada Nabi Besar Muhammad SAW, Terima kasih penulis ucapkan kepada seluruh pihak yang telah membantu dalam proses penelitian skripsi ini. Untuk itu, iringan doa dan ucapan terima kasih yang sebesar-besarnya penulis sampaikan kepada :

1. Bapak Prof. Dr. Musafir Pababbari, M.Si. selaku Rektor Universitas Islam Negeri (UIN) Alauddin Makassar.
2. Bapak Prof. Dr. H. Arifuddin, M.Ag. selaku Dekan Fakultas Sains dan Teknologi Universitas Islam Negeri (UIN) Alauddin Makassar.

3. Ibu Sjamsiah, S.Si., M.Si., Ph.D. selaku Ketua Jurusan Kimia Fakultas Sains dan Teknologi Universitas Islam Negeri (UIN) Alauddin Makassar.
4. Ibu Syamsidar HS, ST., M.Si. selaku dosen pembimbing I atas kesediaan dan keikhlasan dalam membimbing penulis sehingga skripsi ini dapat terselesaikan.
5. Ibu kurnia Ramadhani, S.Si., M.Pd. selaku dosen pembimbing II atas kesediaan dan keikhlasan dalam membimbing penulis sehingga skripsi ini dapat terselesaikan.
6. Ibu Aisyah, S.Si., M.Si. selaku dosen penguji I, Ibu Sitti Chadijah, S.Si., M.Si. selaku dosen penguji ke II dan Bapak Prof. Dr. H. M. Galib. M, M.A. selaku dosen penguji agama yang senantiasa memberikan kritik dan saran guna menyempurnakan skripsi ini.
7. Segenap dosen Kimia Fakultas Sains dan Teknologi Universitas Islam Negeri (UIN) Alauddin Makassar yang tidak bisa penulis sebutkan satu persatu yang telah membantu dan membekali ilmu kepada penulis.
8. Segenap laboran Kak Fitria Azis, S.Si., S.Pd. Kak Andi Nurahma, S.Si. Kak Ismawanti, S.Si. Kak Ahmad Yani, S.Si. dan Kak Awaluddin, S.Si., M.Si dan Kak Nuraini, S.Si.
9. Sahabat seperjuangan saya, Rizal Irfandi, Saiful Akbar, Kamsir, Muh. Tri Wirawan, Muh. Rafli, Adi Agus, Hadi Kuswanto, Muhammad Anas said, Arfa Mubarak, Bukhari Muslim, Hasra Yasin, Dewi Wulan Putri, Fitriyani Bahar, Husna J, Ayu Safitri Agustina, Yuli Andriani Deli, Nur Insani Amir, Sri Wahyuni, Mutmainnah Nuh, Muliati, Hardiyanti, Hermawan, Basso Andika, Ria Rukmana Yamin, Winda, Husnul Fatimah, Nurdiniah, Mentari dan seluruh saudara seperjuangan di Kimia 2012,

10. Segenap senior dari angkatan 2011 juga adik-adik angkatan 2013, 2014 dan 2015 serta semua pihak yang telah membantu dalam penyelesaian skripsi ini.
11. Rekan sekaligus sahabat saya Rismang yang kontribusinya dalam memberikan dukungan serta motivasi yang begitu besar terhadap penulis, baik secara material maupun dukungan moral. Beliau adalah rekan seperjuangan dalam pelaksanaan Praktek Kerja Lapangan (PKL), KKN dan Penelitian saya. Beliau dengan suka dan duka menemani penulis dari awal penelitian sampai pada akhir penyusunan skripsi ini.
12. Teman-teman KKN angkatan 51 di Kec. Binamu Kab. Jeneponto khususnya Kel. Pabiringa (Muhammad takbir, Haidir, Muslimin, Ima dan Nurfadilla) yang telah memberikan dukungan terhadap penulis.
13. Kedua orang tua tercinta, ayahanda Muhammad Tualeka, SE dan ibunda Dra. Nurlaila Gersee untuk nasihat, motivasi dan dukungan yang selalu membangkitkan semangat untuk ananda tercinta serta keluarga dan saudara-saudaraku Jusdahlija S.Farm., Apt., Novril Yusuf Tualeka, SIP, dan adik tercinta Irzal Tualeka atas doa dan kesabarannya serta dukungan material dan spiritual kepada penulis. Terima kasih juga penulis ucapkan Akhir kata, semoga skripsi ini bermanfaat bagi semua pihak dan dapat bernilai ibadah di sisiNya.

Wabilahi Taufik Walhidayah Wassalamu 'alaikum Wr. Wb.

Makassar, Oktober 2016

Penulis

DAFTAR ISI

HALAMAN JUDUL.....	i
PENGESAHAN SKRIPSI.....	ii
KATA PENGANTAR.....	iii
DAFTAR ISI.....	vi
DAFTAR GAMBAR.....	viii
DAFTAR TABEL.....	ix
DAFTAR LAMPIRAN.....	x
ABSTRAK.....	xi
BAB I PENDAHULUAN.....	1-6
A. Latar Belakang.....	1
B. Rumusan Masalah.....	5
C. Tujuan Penelitian.....	5
D. Manfaat Penelitian.....	6
BAB II TINJAUAN PUSTAKA.....	7-21
A. Abu Layang (<i>Fly Ash</i>).....	7
B. Zeolit.....	11
C. Adsorpsi.....	13
D. Pencemaran Logam Berat.....	16
E. Tembaga.....	20
BAB III METODE PENELITIAN.....	23-26
A. Waktu dan Tempat Penelitian.....	23
B. Alat dan Bahan.....	23
1. Alat.....	23

2. Bahan.....	23
C. Prosedur Kerja.....	24
1. Preparasi Abu Layang.....	24
2. Pembuatan Natrium Silikat.....	24
3. Pembuatan Natrium Aluminat.....	24
4. Sintesis Zeolit.....	24
5. Pembuatan larutan induk Cu^{2+} 1000 ppm.....	25
6. Pembuatan larutan baku 100 ppm.....	25
7. Pembuatan larutan sampel.....	25
8. Pembuatan deret standar.....	25
9. Uji Adsorbtivitas.....	26
BAB IV HASIL DAN PEMBAHASAN.....	27-36
A. Hasil Penelitian.....	27
B. Pembahasan.....	33
BAB V PENUTUP.....	37
A. Kesimpulan.....	37
B. Saran.....	37
DAFTAR PUSTAKA.....	38
LAMPIRAN-LAMPIRAN.....	41-84
RIWAYAT HIDUP.....	

DAFTAR GAMBAR

	Halaman
Gambar 2.1. Abu layang.....	7
Gambar 2.2. Struktur umum zeolit.....	11
Gambar 2.3. Logam tembaga murni.....	22
Gambar 4.1. Hasil difraktogram HCl 2M.....	31
Gambar 4.2. Hasil difraktogram HCl 3M.....	32
Gambar 4.3. Hasil difraktogram HCl 4M.....	32
Gambar 4.4. Hasil difraktogram HCl 5M.....	33

DAFTAR TABEL

	Halaman
Tabel 2.1. Komposisi abu layang	8
Tabel 4.1. Hasil XRF abu layang PLTU Jeneponto.....	27
Tabel 4.2. Hasil Analisis XRD Zeolit Sintetik 2 M.....	28
Tabel 4.3. Hasil Analisis XRD Zeolit Sintetik 3 M	28
Tabel 4.4. Hasil Analisis XRD Zeolit Sintetik 4 M	29
Tabel 4.5. Hasil Analisis XRD Zeolit Sintetik 5 M	30
Tabel 4.6. Adsorbktivitas zeolit sintetik	30



DAFTAR LAMPIRAN

	Halaman
Lampiran 1. Bagan penelitian sintesis zeolit.....	41
Lampiran 2. Skema kerja sintesis zeolit.....	42
Lampiran 3. Absorbansi deret standar.....	48
Lampiran 4. Perhitungan efisiensi adsorpsi zeolit.....	50
Lampiran 5. Hasil analisis XRD zeolit sintetis	51
Lampiran 6. Dokumentasi penelitian	77



ABSTRAK

Nama : Marwan Kadir Tualeka
NIM : 60500112048
Judul : Sintesis Zeolit dari Abu Layang (*Fly Ash*) dengan Metode Hidrotermal dan uji Adsorbtivitas terhadap logam Tembaga (Cu)

Abu layang (*Fly Ash*) merupakan salah satu limbah anorganik yang dapat dijadikan sebagai bahan dasar untuk mensintesis zeolit. Abu layang yang diperoleh dari PLTU Energi Bosowa Jenepono dianalisis dengan menggunakan *X-ray Fluoresence* (XRF) agar diketahui kandungan silika (SiO_2) dan Alumina (Al_2O_3).

Sintesis Zeolit dari Abu layang batubara dilakukan dengan metode hidrotermal. Preparasi dilakukan pada abu layang dengan cara direfluks menggunakan HCl dengan variasi konsentrasi tertentu (2M; 3M; 4M dan 5M). Proses sintesis dimulai dengan menambahkan natrium aluminat kedalam larutan natrium silikat dengan perbandingan 1:1 kemudian dihidrotermal dalam autoklaf dengan suhu $120\text{ }^\circ\text{C}$ selama 2 jam.

Zeolit Sintetik yang telah terbentuk dikarakterisasi dengan menggunakan *X-ray Diffractometer* (XRD). Hasil XRD menunjukkan bahwa intensitas tertinggi pada proses refluks 5M dan jenis zeolit yang diperoleh berupa zeolit ITQ-34, zeolit (K,Ba)-G,L, sodalit dan mineral alumina silika seperti eucryptit dan aluminum oksida corundum. Zeolit yang dihasilkan mampu menyerap logam Cu pada limbah cair sintetik sebesar 100% terhadap konsentrasi 20 ppm dengan massa 1 gr dan waktu perendaman 60 menit.

Kata kunci: Abu Layang, Zeolit, Hidrotermal, Logam tembaga

ABSTRACT

Name : Marwan Kadir Tualeka
NIM : 60500112048
Title : Synthesis of Zeolites from Fly Ash by Hydrothermal Method and test Adsorbktivitas to metals Copper (Cu)

Fly ash is one of the inorganic waste that can be used as the base material for the synthesis of zeolites. Fly ash from Jeneponto Bosowa Energy power plant were analyzed using X-ray fluorescence (XRF) in order to know the content of silica (SiO_2) and alumina (Al_2O_3).

Synthesis of Zeolites from fly ash carried by hydrothermal method. Preparation in fly ash refluxed using HCl with variations in (2M; 3M; 4M and 5M) concentrations. Synthesis process starts by adding sodium aluminate into a solution of sodium silicate with a ratio of 1: 1 then dihidrotermal in an autoclave at a temperature of 120°C for 2 hours.

Synthetic Zeolites that have been formed characterized using X-ray diffractometer (XRD). The XRD results showed that the highest intensities reflux 5M process and the type of zeolite obtained in the form of zeolite ITQ-34, zeolite (K, Ba) -G, L, sodalite and minerals such as silica alumina and aluminum oxide corundum eucryptit. The resulting zeolite capable of absorbing Cu on synthetic liquid waste by 100% to a concentration of 20 ppm with a mass of 1 g and an immersion time of 60 minutes.

Keywords: Fly Ash, Zeolites, Hydrothermal, Metals copper

BAB I

PENDAHULUAN

A. Latar Belakang

Perkembangan Industri di Indonesia saat ini semakin pesat. Perkembangan tersebut tidak hanya menimbulkan dampak positif melainkan menimbulkan pula dampak negatif. Salah satu dampak negatif yaitu bertambahnya limbah yang dihasilkan. Pengelolaan limbah yang belum maksimal dapat menyebabkan masalah yaitu pencemaran lingkungan. Hal ini jika tidak ditangani dengan tepat maka akan menimbulkan masalah serius dan dapat mengakibatkan penimbunan limbah. Sehingga, lama kelamaan bumi kita ini akan tercemar oleh limbah tersebut dan tidak layak lagi untuk dihuni. Salah satu industri yang menghasilkan limbah ialah pembangkit listrik tenaga uap (PLTU) Jeneponto (Jumaeri 2007: 38).

PLTU Jeneponto menggunakan bahan bakar berupa batu bara. Batu bara ini jika dibakar maka akan menghasilkan limbah gas dan limbah padat yaitu abu layang (*fly ash*) dan abu dasar (*bottom ash*) yang cukup besar jumlahnya. Abu layang yang dihasilkan berkisar 80-90 % dari total abu seluruhnya. Limbah abu layang merupakan masalah yang tidak asing lagi yang dihadapi oleh banyak negara di dunia yang menggunakan batu bara sebagai sumber energi. Di Indonesia jumlah pemakaian abu layang batu bara untuk berbagai tujuan masih sangat sedikit (Jumaeri 2007: 38).

Pembakaran batu bara untuk PLTU tidak semua bahan yang terkandung di dalamnya dapat dioksidasi dengan sempurna. Secara kimiawi, hasil pembakaran batu bara adalah bahan-bahan volatil seperti CO₂, SO₂, NO₂ dan H₂O serta bahan non-volatil berupa abu batu bara yang dikenal dengan abu dasar (*bottom ash*) dan abu

layang (*fly ash*). Jumlah limbah abu layang yang dihasilkan tiap tahun cukup besar. Jumlah limbah yang besar tersebut bila tidak ditangani secara serius akan menimbulkan permasalahan baru antara lain membahayakan lingkungan hidup serta akan meningkatkan biaya produksi (Sunardi, 2007: 2).

Konsumsi batubara domestik tahun 2005 diproyeksikan mencapai 45,5 juta ton dan rata-rata meningkat sebesar 9% per tahun. Pembakaran batubara sebanyak itu akan menghasilkan 3,58 juta ton limbah abu layang. Jumlah abu layang yang dihasilkan terus meningkat sejalan dengan laju konsumsi batubara. Oleh karena itu, Departemen Perindustrian bersama Kementerian Negara Lingkungan Hidup memandang perlu adanya program terpadu penanganan dan pemanfaatan limbah batubara dalam rangka meningkatkan daya saing industri (Jumaeri, 2009: 22).

Abu layang merupakan limbah industri yang dihasilkan dari pembakaran batu bara dan dapat menyebabkan kerusakan dimuka bumi. Hal ini jika tidak ditangani dengan baik maka akan menimbulkan masalah yang serius dan dapat mencemari lingkungan. Kerusakan ini dapat terjadi karena adanya sifat ketidaktahuan dan sifat rakus yang dimiliki oleh manusia di mana manusia hanya ingin memperoleh keuntungan tetapi tidak bertanggung jawab dan tidak memperbaiki kerusakan yang ditimbulkan oleh manusia itu sendiri. Oleh sebab itu perlu diingatkan sebagaimana Allah SWT berfirman dalam Q.S. Al-A'raf/ (7:56):

وَلَا تُفْسِدُوا فِي الْأَرْضِ بَعْدَ إِصْلَاحِهَا وَادْعُوهُ خَوْفًا وَطَمَعًا إِنَّ رَحْمَتَ اللَّهِ قَرِيبٌ مِّنَ الْمُحْسِنِينَ ﴿٥٦﴾

Terjemahnya:

“Dan janganlah kamu membuat kerusakan di muka bumi, sesudah (Allah) memperbaikinya dan Berdoalah kepada-Nya dengan rasa takut (tidak akan diterima) dan harapan (akan dikabulkan). Sesungguhnya rahmat Allah Amat dekat kepada orang-orang yang berbuat baik (Kementrian Agama RI, Al-Qur’an & Terjemahnya)”.

Menurut M. Quraish Shihab (2009: 144), dalam kitab Al-Misbah, ayat ini melarang pengrusakan di bumi. Pengrusakan adalah salah satu bentuk pelampauan batas. Karena itu ayat ini melanjutkan tuntunan ayat yang lalu dengan menyatakan: *dan janganlah kamu membuat kerusakan di muka bumi sesudah perbaikannya yang dilakukan oleh Allah dan atau siapa pun dan berdoalah* serta beribadahlah *kepada-Nya dalam keadaan takut* sehingga kamu lebih khusyuk dan lebih terdorong untuk menaatinya *dan dalam keadaan penuh harapan* terhadap anugerah-Nya, termasuk pengabulan doa kamu. *Sesungguhnya rahmat Allah amat dekat kepada al-muhsinin*, yakni orang-orang yang berbuat baik.

Abu layang merupakan salah satu hasil samping pembakaran batubara, yang terutama tersusun atas oksida-oksida dari senyawa anorganik. Banyaknya dan karakteristik abu yang dihasilkan sangat ditentukan oleh jenis batu bara dan sistem pembakaran yang digunakan. Abu batu bara merupakan materi sisa yang ada setelah semua materi yang dapat bakar (*flameable*) pada batu bara telah habis terbakar . Oleh karena itu abu batu bara merupakan campuran yang kompleks sebagai hasil perubahan kimia komponen batu bara yang berlangsung selama pembakaran. Berdasarkan ukuran partikelnya abu batu bara dapat dibedakan menjadi dua macam, yaitu abu layang (*fly ash*) dan abu dasar (*bottom ash*). Abu layang adalah residu halus yang dihasilkan dari pembakaran batu bara gilingan (*grounded*) atau serbuk (*powdered*) yang tidak dapat terbakar dengan distribusi ukuran 1-100 μm dan relatif

homogen. Abu layang mempunyai warna keabu-abuan dan jumlahnya kira-kira 85% dari total abu yang dihasilkan (Jumaeri, 2007: 38).

Abu layang mengandung oksida-oksida logam dengan komponen utama SiO_2 dan Al_2O_3 , dimana hal tersebut menunjukkan adanya kemiripan komponen kimia antara abu layang dengan zeolit. Adanya kemiripan tersebut memungkinkan untuk dimanfaatkan sebagai bahan dasar sintesis zeolit. Sintesis zeolit dari abu layang telah dilakukan dengan beberapa metode dan menghasilkan tipe zeolit yang berbeda-beda. (Sunardi, 2007: 1).

Penelitian yang memanfaatkan abu layang (*Fly Ash*) batu bara sebagai adsorben logam berat telah dilakukan oleh Itnawita (2012) sebagai pemurnian zeolit untuk penyerapan logam tembaga (Cu) dan kromium (Cr) Dari limbah cair electroplating, dalam penelitiannya dilakukan pemurnian zeolit dari abu layang dengan menggunakan asam klorida (HCl) dan dilakukan uji adsorbtivitas untuk logam Cu dan Cr. Hasil yang diperoleh zeolit yang dihasilkan ini ternyata mampu menyerap logam pada limbah elektroplating berupa Cu sebesar 88,76% dan Cr sebesar 99,87%.

Widi Astuti dan Widhi Mahatmanti (2010), dalam penelitiannya yaitu aktivasi abu layang batubara dan aplikasinya sebagai adsorben timbal dalam pengolahan limbah electroplating. Hasil yang diperoleh menunjukkan bahwa abu layang yang diaktivasi dengan H_2SO_4 dapat menurunkan kandungan karbon sebesar 65,28% dan meningkatkan kapasitas adsorpsi sebesar 65,28% sedangkan abu layang yang diaktivasi dengan NaOH dapat menurunkan tingkat kristalinitas dan meningkatkan kapasitas adsorpsi hingga hampir 100%.

Kebanyakan zeolit dibuat melalui sintesis hidrotermal tergantung pada komposisi material yang diinginkan ukuran partikel dan sebagainya. Sebagaimana

yang dilakukan Jumaeri (2007) Preparasi dan karakterisasi zeolit dari abu layang batubara secara alkali hidrotermal. Hasil penelitian menunjukkan bahwa aktivasi abu layang dengan proses alkali hidrotermal dapat menghasilkan material yang mempunyai struktur mirip zeolit (zeolit-like). Produk hidrotermal terdiri dari campuran zeolit (Zeolit P, Zeolit Y) serta Kristal sodalit dan mullit.

Penelitian yang dilakukan oleh Zakaria (2012) adsorpsi Tembaga (Cu(II)) menggunakan zeolit sintesis dari abu terbang batubara dengan menggunakan *Atomic adsorbtion Spectrofotometer (AAS)* untuk mengukur adsorbktivitas zeolit sintetik dari abu layang. Tujuan penelitian ini adalah membuat zeolit sintetik dari abu layang melalui reaksi hidrotermal dan mengaplikasikannya sebagai adsorben ion logam tembaga (Cu) serta menentukan kapasitas adsorpsinya. Hasilnya model Langmuir lebih sesuai untuk proses kesetimbangan adsorpsi isothermal dan kapasitas adsorpsi optimum untuk adsorben abu terbang batu bara dan zeolit sintesis adalah 4,11 mg/g dan 60,97 mg/g.

Berdasarkan beberapa penelitian yang memanfaatkan abu layang (*Fly ash*) batubara sebagai adsorben maka dilakukan penelitian ini dengan judul *Sintesis Zeolit Dari Abu Layang (Fly Ash) Dengan Metode Hidrotermal Dan Uji Adsorbktivitas Terhadap Logam Tembaga (Cu)*.

B. Rumusan Masalah

Rumusan masalah pada penelitian ini adalah sebagai berikut:

1. Bagaimana karateristik zeolit sintetik abu layang dengan metode hidrotermal?
2. Bagaimana Adsorbktivitas zeolit sintetik terhadap logam Tembaga (Cu)?

C. Tujuan Penelitian

Tujuan pada penelitian ini adalah sebagai berikut:

1. Untuk mengetahui karakteristik zeolit yang dihasilkan dari abu layang dengan metode hidrotermal.
2. Untuk mengetahui Adsorbtivitas zeolit sintetik terhadap logam Tembaga (Cu).

D. Manfaat Penelitian

Manfaat pada penelitian ini adalah sebagai berikut:

1. Dapat memberikan informasi kepada masyarakat terhadap penanganan Abu layang (*Fly Ash*) atau limbah batu bara yang selama ini membahayakan lingkungan.
2. Dapat memberikan solusi dalam penanganan pencemaran logam berat pada lingkungan agar tidak terjadi kerusakan dan mengingatkan kepada kita semua agar tidak bersikap rakus dan selalu menjaga keseimbangan di muka bumi ini.

BAB II

TINJAUAN PUSTAKA

A. Abu Layang (*Fly Ash*)

Masalah utama pada pembangkit listrik tenaga uap yang menggunakan batubara sebagai sumber energi adalah adanya limbah padat berupa abu layang batubara. Abu ini belum dimanfaatkan dengan baik dan hanya ditumpuk dalam landfill sehingga menyebabkan masalah lingkungan. Bila hal ini dibiarkan terus menerus maka abu layang tidak mempunyai nilai ekonomi justru akan menimbulkan masalah bagi lingkungan sekitarnya, dengan demikian perlu adanya usaha-usaha nyata untuk mengolah dan memanfaatkan abu layang ini sebanyak-banyaknya dan seefektif mungkin (Astuti, 2010: 112).

Jumlah limbah abu layang batubara (*fly ash*) yang dihasilkan dari proses pembakaran batubara di Pembangkit Listrik Tenaga Uap (PLTU) sangat besar, termasuk di Indonesia. Limbah abu layang batubara yang relatif besar ini menimbulkan dampak pencemaran yang cukup berbahaya. Sehingga perlu dipikirkan alternatif pemecahan permasalahan pencemaran ini (Mufrodi, 2010: 1).



Gambar 2.1. Abu layang

Hasil analisis kandungan mineral menunjukkan bahwa abu layang mengandung oksida-oksida logam termasuk logam-logam berat dalam jumlah kecil. Oksida utama dari abu layang batubara adalah silika (SiO_2), alumina (Al_2O_3) dan besi (Fe_2O_3). Keberadaan komponen silika dan alumina memungkinkan abu layang untuk dapat disintesis menjadi material yang strukturnya mirip dengan zeolit atau dikenal dengan *zeolite like material* (ZLM). Struktur zeolit yang berpori merupakan sifat yang dapat dimanfaatkan sebagai material adsorben suatu bahan pencemar yang dikeluarkan dari suatu industri (Mufrodi, 2010: 1). Tabel kandungan atau komposisi kimia dari abu layang dapat dilihat sebagai berikut:

Tabel 2.1. komposisi abu layang

No	Komponen	(% berat)
1	SiO_2	42,27
2	Al_2O_3	22,33
3	CaO	7,60
4	MgO	3,41
5	Fe_2O_3	12,41
6	MnO	0,0855
7	Na_2O	2,04
8	K_2O	2,05
9	CuO	0,0098
10	As_2O_3	0,0038
11	P_2O_5	0,294
12	SO_3	1,21
13	Unburned Carbon	19,11

Sumber: (Astuti, 2010: 114)

Abu layang digunakan untuk mengurangi pencemaran lingkungan, khususnya pada pencemaran lingkungan oleh logam berat jika tidak ditangani dengan serius, maka akan menimbulkan pencemaran bagi lingkungan sekitar. Pencemaran maupun kerusakan ini dapat terjadi karena adanya sifat ketidaktahuan dan sifat rakus yang dimiliki oleh manusia di mana manusia hanya ingin memperoleh keuntungan tetapi tidak bertanggung jawab dan tidak memperbaiki kerusakan yang ditimbulkan oleh manusia itu sendiri. Oleh sebab itu perlu diingatkan sebagaimana Allah telah menjelaskan dalam Q.S Al-Rum /(30:41), bahwa segala kerusakan di muka bumi diakibatkan oleh tangan manusia.

ظَهَرَ الْفَسَادُ فِي الْبَرِّ وَالْبَحْرِ بِمَا كَسَبَتْ أَيْدِي النَّاسِ لِيُذِيقَهُمْ بَعْضَ الَّذِي
عَمِلُوا لَعَلَّهُمْ يَرْجِعُونَ

Terjemahnya:

“Telah nampak kerusakan di darat dan di laut disebabkan karena perbuatan tangan manusia, supaya Allah merasakan kepada mereka sebahagian dari (akibat) perbuatan mereka, agar mereka kembali (ke jalan yang benar)(Kementrian Agama RI, Al-Qur’an & Terjemahnya)”.

Menurut M. Quraish Shihab (2009: 236), dalam kitab Al-Misbah, Ayat ini menjelaskan sikap kaum musyrikin yang diuraikan ayat-ayat yang lalu, yang intinya adalah mempersekutukan Allah dan mengabaikan tuntunan-tuntunan agama, berdampak buruk terhadap diri mereka, masyarakat dan lingkungan. Ini dijelaskan oleh ayat diatas dengan menyatakan: *Telah Nampak kerusakan di darat, seperti kekeringan, penceklik, hilangnya rasa aman, dan di laut, seperti ketertenggelaman, kekurangan hasil laut dan sungai, disebabkan karena perbuatan tangan manusia yang durhaka sehingga akibatnya Allah mencicipkan, yakni merasakan sedikit,*

kepada mereka sebagian dari akibat perbuatan dosa dan pelanggaran mereka agar mereka kembali ke jalan yang benar.

Kata *zhahara* pada mulanya berarti *terjadinya sesuatu dipermukaan bumi*. Sehingga, karena dia dipermukaan, dia menjadi tampak dan terang serta diketahui dengan jelas. Lawannya adalah *bathana* yang berarti *terjadinya sesuatu di perut bumi* sehingga tidak tampak. Demikian al-Ashfahani dalam *Maqayis-nya*. Kata *zhahara* pada ayat di atas dalam arti *banyak dan tersebar*. Kata al-fasad, menurut al-Ashfahani, adalah *keluarnya sesuatu dari keseimbangan, baik sedikit maupun banyak*. Kata ini digunakan menunjuk apa saja, baik jasmani, jiwa, maupun hal-hal lain. Ia juga diartikan sebagai antonim dari *ash-shalah* yang berarti *manfaat atau berguna*. Ayat di atas menyebut darat dan laut sebagai tempat terjadinya *fasad* itu. Ini dapat berarti daratan dan lautan menjadi arena kerusakan, misalnya dengan terjadinya pembunuhan dan perampokan di kedua tempat itu dan dapat juga berarti bahwa darat dan laut sendiri telah mengalami kerusakan, ketidakseimbangan serta kekurangan manfaat. Laut telah tercemar sehingga ikan mati dan hasil laut berkurang. Daratan semakin panas sehingga terjadi kemarau panjang. Alhasil, keseimbangan lingkungan menjadi kacau. Inilah yang mengantar sementara ulama kontemporer memahami ayat ini sebagai kerusakan lingkungan (Shihab, 2009: 236).

Abu layang atau *fly ash* adalah *material pozzolanic* hasil samping dari pembakaran batu bara. Abu layang terbentuk karena adanya mineral-mineral yang tidak mudah terbakar yang terkandung di dalam batu bara, seperti Silika (Si), Alumina (Al) dan Besi (Fe). Karena tingginya kandungan silika dan alumina didalamnya, abu layang dapat dimanfaatkan sebagai sumber silika dan alumina dalam sintesis material zeolit. Mengingat kandungan abu layang umumnya sangat beragam dan tidak memungkinkan melakukan pemisahan silika dan alumina,

material sintetis yang dibuat umumnya disebut dengan istilah material mirip zeolit (*zeolite like material/ZLM*). Material hasil sintetis secara teoritis dapat mengambil peranan seperti yang dimiliki oleh zeolit yang disintetis secara komersial, yaitu sebagai adsorben, katalis dan pengayak molekular/*molecular sieve* (Mufrodi, 2010: 1).

B. Zeolit

Zeolit merupakan suatu mineral aluminosilikat yang mempunyai struktur tiga dimensi. Zeolit dibentuk oleh tetrahedral silika (SiO_4^{-4}) dan alumina (AlO_4^{-5}) dengan rongga berisi molekul air, ion-ion logam, biasanya logam alkali dan alkali tanah yang dapat dipertukarkan. Zeolit memiliki sifat-sifat istimewa seperti pengayak molekul, penukar ion, stabil terhadap panas, selektif permukaan dan mudah dimodifikasi sehingga banyak digunakan dalam industri sebagai katalis, *ion exchanger* dan adsorben dalam pengolahan limbah. Zeolit dapat ditemukan di alam dan dapat disintesis. Zeolit sintesis umumnya belum murni, masih merupakan campuran dari spesi hidroxysodalite, zeolit 4A ataupun zeolit P (It Nawita, 2012: 15).



Gambar 2.2. Struktur zeolit

Zeolit merupakan material yang memiliki banyak kegunaan. Zeolit telah banyak diaplikasikan sebagai adsorben, penukar ion, dan sebagai katalis. Zeolit adalah mineral kristal alumina silica tetrahidrat berpori yang mempunyai struktur

kerangka tiga dimensi, terbentuk oleh tetrahedral $[\text{SiO}_4]^{4-}$ dan $[\text{AlO}_4]^{5-}$ yang saling terhubung oleh atom-atom oksigen sedemikian rupa, sehingga membentuk kerangka tiga dimensi terbuka yang mengandung kanal-kanal dan rongga-rongga, yang didalamnya terisi oleh ion-ion logam, biasanya adalah logam-logam alkali atau alkali tanah dan molekul air yang dapat bergerak bebas (Lestari, 2010: 1).

Zeolit banyak ditemukan dalam batuan. Kerangka dasar struktur zeolit terdiri dari unit-unit tetrahedral AlO_4^{2-} dan SiO_4^{4-} yang saling berhubungan melalui atom O dan di dalam struktur, Si^{4+} dapat diganti dengan Al^{3+} . Ikatan Al-O-Si membentuk struktur kristal sedangkan logam alkali atau alkali tanah merupakan sumber kation yang dapat dipertukarkan (Lestari, 2010: 2).

Kerangka struktur tiga dimensi senyawa alumina silikat terdiri atas dua bagian, yaitu bagian netral dan bagian bermuatan. Bagian netral sematamata dibangun oleh silikon dan oksigen dan jenisnya bervariasi antara SiO_4^{4-} sampai SiO_2 dengan perbandingan Si:O dari 1:4 sampai 1:2. Bagian bermuatan dibangun oleh ion aluminium yang kecil dan oksigen. Dalam bagian ini terjadi penggantian ion pusat silikon bervalensi empat dengan kation aluminium yang bervalensi tiga, sehingga setiap penggantian ion silikon dan ion aluminium memerlukan satu ion logam alkali atau alkali tanah yang monovalen atau setengah ion logam divalen, seperti : Na^+ , K^+ , Ca^{2+} , Mg^{2+} , Ba^{2+} , Sr^{2+} , dan lain-lain untuk menetralkan muatan listriknya (Lestari, 2010: 2).

Beberapa penelitian menunjukkan bahwa kerangka tetrahedral dari zeolit tidak stabil terhadap asam atau panas. Selain itu diketahui bahwa zeolit mordenit yang mempunyai perbandingan $\text{Si}/\text{Al} = 5$ adalah sangat stabil. Maka diusahakan untuk membuat zeolit dengan kadar Si yang lebih tinggi dari satu yang kemudian diperoleh zeolit Y dengan perbandingan kadar Si/Al antara 1-3. Contoh zeolit Si

sedang adalah zeolit Omega (sintetis) sedangkan zeolit alam yang termasuk jenis ini adalah mordenit, erionit dan klinoptilotit (Lestari, 2010: 2).

Mineral zeolit adalah material silikat Kristal dengan struktur yang sangat teratur dan porositas tinggi. Zeolit merupakan material yang penting untuk katalis, penukar ion, adsorben dan aplikasi saringan molekuler (*molecular sieve*). Kebanyakan zeolit dibuat melalui sintesis hidrotermal. Kondisi sintesis tergantung pada komposisi material yang diinginkan, ukuran partikel, morfologi dan sebagainya. Proses sintesis adalah sensitif terhadap sejumlah variabel seperti temperatur, pH, sumber silika dan alumina, jenis kation alkali dan waktu reaksi maupun sufraktan (Jumaeri, 2009: 23).

Zeolit dapat disintesis dari larutan silika dan alumina yang mengandung alkali hidroksida atau basa-basa organik untuk mencapai pH yang tinggi. Gel alumina silika akan terbentuk melalui reaksi pemanasan. Jika kandungan silika pada zeolit rendah, maka produk dapat dikristalkan pada suhu 70-100 °C, sedangkan jika memiliki kandungan yang kaya akan silika, maka produk dari hidrotermal adalah gel. Dalam hal ini gel yang diperoleh ditempatkan dalam *autoclave* pada beberapa jam atau bahkan beberapa hari. Produk zeolit dengan struktur tertentu akan terbentuk pada suhu 100-350 °C (Jumaeri, 2009: 24).

Sintesis zeolit dari abu layang telah dilakukan dengan beberapa metode dan menghasilkan tipe zeolit yang berbeda-beda. Perlakuan termal dan kebasaan yang tinggi abu layang memberikan hasil beberapa tipe zeolit, seperti Na-P dan sodalit, dimana zeolit terbentuk seperti putih telur menutupi partikel abu layang pada intinya. Dengan metode peleburan NaOH hampir semua partikel abu layang berubah menjadi natrium silikat dan natrium aluminat. Reaksi hidrotermal dari hasil peleburan akan

menghasilkan zeolit dengan kuatitas dan kriticalitas yang tinggi dibandingkan tanpa melalui peleburan dengan NaOH (Sunardi, 2007: 2).

C. Adsorpsi

Berbagai cara telah dilakukan untuk mengatasi pencemaran logam berat, diantaranya presipitasi kimia, osmosis balik, pertukaran ion, dan bioreduksi. Tetapi, penggunaan metode tersebut membutuhkan biaya yang mahal dan memiliki kekurangan karena tidak efektif terutama pada konsentrasi 1-100 ppm. Sebagai alternatif dari kendala biaya dalam mengatasi pencemaran logam berat dengan skala 1-100 ppm maka dapat digunakan metode adsorpsi. Adsorpsi merupakan suatu gejala permukaan dimana terjadi penyerapan atau penarikan molekul-molekul gas atau cairan pada permukaan adsorben. Adsorben merupakan suatu bahan (padatan) yang dapat mengadsorpsi adsorbat. Adsorben dapat digunakan dalam penanganan limbah (Kusuma, 2014: 2)

Adsorpsi adalah terserapnya atau terikatnya suatu substansi (adsorbat) pada permukaan yang dapat menyerap (adsorben). Adsorpsi dapat terjadi antara zat padat dan zat cair (Kwartiningsih, dkk, 2010: 36). Adsorpsi merupakan proses pemisahan komponen-komponen tertentu dari suatu fase cair ke permukaan zat padat yang menyerap. Pada dasarnya logam berat pada dalam air limbah dapat dipisahkan dengan berbagai cara, baik secara fisika, kimia maupun biologi (Suprihatin, 2009: 252).

Menurut Kwartiningsih, dkk (2010: 36), proses adsorpsi terjadi pada permukaan pori-pori dalam butir adsorben sehingga untuk bisa teradsorpsi, logam dalam cairan akan mengalami proses seri berikut:

1. Perpindahan massa logam dari cairan ke permukaan butir melalui lapisan film.

2. Difusi dari permukaan butir ke dalam butir melalui pori
3. Perpindahan massa dari cairan dalam pori ke dinding pori
4. Adsorpsi pada dinding pori

Adsorpsi merupakan metode yang efektif untuk mengatasi masalah pencemaran lingkungan. Metode adsorpsi bergantung pada kemampuan permukaan adsorben untuk menarik molekul-molekul gas, uap atau cairan. Berbagai jenis adsorben karbon aktif telah berhasil dikembangkan dan terbukti mampu mengadsorpsi ion logam berat, hanya saja tergolong mahal dan sulit untuk diproduksi. Untuk itu, selama sepuluh tahun terakhir penelitian secara ekstensif diarahkan untuk mencari jenis adsorben yang relatif lebih murah dan mudah didapatkan (Nurdila, dkk, 2015: 23).

Adsorpsi terbagi atas dua yaitu pertama adsorpsi fisika yang memiliki ikatan yang lemah antara adsorben dan adsorbat dan energi yang dilepaskan jika terserap secara fisika memiliki orde besaran yang sama dengan entalpi kondensasi. Kedua adsorpsi kimia, pada proses adsorpsi kimia terjadi dengan adanya pembentukan ikatan kimia secara kovalen dengan sifat yang spesifik karena tergantung pada jenis adsorben dan adsorbatnya. Adsorpsi kimia bersifat ireversibel, berlangsung pada temperatur tinggi dan tergantung pada energi aktivasi (Atkins, 1996: 437-438).

Syarat-syarat adsorben yang baik, antara lain mempunyai daya serap yang tinggi, berupa zat padat yang mempunyai luas permukaan yang besar. tidak boleh larut dalam zat yang akan diadsorpsi, tidak boleh mengadakan reaksi kimia dengan campuran yang akan dimurnikan, dapat diregenerasi kembali dengan mudah, tidak beracun, tidak meninggalkan residu berupa gas yang berbau, mudah didapat dan harganya murah (Putro, 2010: 8).

Menurut lestari (2013: 15), proses adsorpsi dapat dipengaruhi oleh beberapa faktor diantaranya adalah:

1. Konsentrasi

Proses adsorpsi sangat sesuai untuk memisahkan bahan dengan konsentrasi yang rendah dari campuran yang mengandung bahan lain dengan konsentrasi tinggi.

2. Luas permukaan

Semakin luas permukaan pada adsorben maka proses adsorpsi akan semakin baik. Hal ini dapat terjadi tergantung pada banyaknya tumbukan yang terjadi antara partikel-partikel adsorbat dan adsorben. Tumbukan akan efektif antara partikel tersebut dengan meningkatnya luas permukaan.

3. Suhu

Adsorpsi akan lebih cepat berlangsung pada suhu tinggi, namun demikian pengaruh suhu adsorpsi zat cair tidak sebesar pada adsorpsi gas.

4. Ukuran partikel

Semakin kecil ukuran partikel yang diadsorpsi maka proses adsorpsinya akan berlangsung lebih cepat.

5. pH

pH mempunyai pengaruh dalam proses adsorpsi, pada pH optimum suatu proses adsorpsi akan semakin baik.

6. Waktu kontak

Waktu untuk mencapai keadaan setimbang pada proses serapan ion logam oleh adsorben berkisar antara beberapa menit hingga beberapa jam sampai pada waktu optimumnya.

D. Pencemaran Logam Berat

Dampak negatif dapat timbul akibat pembangunan yang tidak berwawasan akan lingkungan. Pembangunan yang tidak berwawasan akan lingkungan dapat menyebabkan rusaknya lingkungan dan terganggunya ekosistem, baik ekosistem darat, udara maupun perairan. Rusaknya lingkungan perairan salah satunya disebabkan oleh adanya pencemaran. Pencemaran di perairan dapat terjadi karena limbah industri maupun limbah domestik dibuang ke perairan tanpa diolah terlebih dahulu, atau diolah tetapi kadar polutannya masih di atas baku mutu yang ditetapkan. Sesuai Undang-Undang RI No.32 Tahun 2009 tentang Perlindungan dan Pengelolaan Lingkungan Hidup, pada pasal 1 ayat 14 disebutkan bahwa pencemaran lingkungan adalah masuk atau dimasukkannya makhluk hidup, zat, energi dan atau komponen lain ke dalam lingkungan hidup oleh kegiatan manusia, sehingga melampaui baku mutu lingkungan hidup yang telah ditetapkan (Kusuma, 2014: 2).

Salah satu bentuk pencemaran lingkungan adalah adanya limbah logam berat pada perairan. Hal ini disebabkan karena banyak pabrik mengalirkan limbah cair industrinya langsung ke sungai ataupun melalui saluran air menuju ke sungai. Logam-logam yang digolongkan sebagai logam berat adalah merkuri (Hg), timbal (Pb), arsen (As), kadmium (Cd), krom (Cr), tembaga (Cu) dan nikel (Ni) (Kusuma, 2014: 2).

Logam berat seperti merkuri, kadmium, kromium, tembaga, zink, timbal, besi dan nikel merupakan contoh kontaminan yang memiliki potensi merusak sistem fisiologi dan biologis manusia, jika melewati tingkat toleransi. Logam-logam ini banyak dihasilkan antara lain oleh industri pelapisan logam (*plating*), pencampuran logam (*alloy*) dan baja, pewarna dan cat (Zakaria, 2012:190).

Unsur logam berat adalah unsur yang mempunyai densitas lebih dari 5 gr/cm³ (Hg mempunyai densitas 13,55 gr/cm³). Diantara semua unsur logam berat, Hg menduduki urutan pertama dalam hal sifat racunnya, dibandingkan dengan logam berat lainnya, kemudian diikuti oleh logam berat antara lain Cd, Ag, Ni, Pb, As, Cr, Sn, Zn (Sudarmaji, 2006: 129).

Limbah logam berat banyak terdapat didalam beberapa limbah industri kimia, misalnya pada industri elektroplating, metalurgi, smelting dan lain-lain. Logam-logam berat yang dihasilkan antara lain nikel, merkuri, tembaga, krom, timbal, seng, cadmium dll. Logam berat dalam limbah biasanya berada dalam berbagai kondisi seperti : tidak larut, terlarut, anorganik, tereduksi, teroksidasi, logam bebas, terpresipitasi, terserap. Penelitian ini menitik beratkan pada logam tembaga dan kromium yang banyak dihasilkan oleh industri elektroplating. Limbah-limbah tersebut dapat menyebabkan pencemaran apabila dibuang dan melebihi ambang batas yang diperbolehkan (Suprihatin, 2009: 250).

Adanya logam berat di perairan berbahaya baik secara langsung terhadap kehidupan organisme, maupun efeknya secara tidak langsung terhadap kesehatan manusia. Hal ini berkaitan dengan sifat-sifat logam berat yaitu sulit terurai, sehingga mudah terakumulasi dalam lingkungan perairan dan keberadaannya secara alami sulit terurai (Ika, 2012: 182)

Logam berat masih termasuk golongan logam dengan kriteria yang sama dengan logam-logam lain. Perbedaannya terletak pada pengaruh yang diakibatkan bila logam ini diberikan dan atau masuk ke dalam tubuh organisme hidup. Meskipun semua logam berat dapat mengakibatkan keracunan pada makhluk hidup, namun sebagian dari logam berat tersebut tetap dibutuhkan dalam jumlah yang sangat kecil. Bila kebutuhan yang sangat sedikit itu tidak dipenuhi, maka dapat berakibat fatal

bagi kelangsungan hidup organisme. Faktor yang menyebabkan logam tersebut dikelompokkan ke dalam zat pencemar yaitu logam berat tidak dapat terurai melalui biodegradasi seperti pencemar organik, logam berat dapat terakumulasi dalam lingkungan terutama sedimen sungai dan laut, karena dapat terikat dengan senyawa organik dan anorganik, melalui proses adsorpsi dan pembentukan senyawa kompleks (Ika, 2012: 182).

Berdasarkan sudut pandang toksikologi, logam berat ini dapat dibagi menjadi dua jenis. Jenis pertama adalah logam berat esensial di mana keberadaannya dalam jumlah tertentu sangat dibutuhkan oleh organisme hidup, namun dalam jumlah yang berlebihan dapat menimbulkan efek racun, contoh logam berat ini adalah Fe. Keberadaan besi dalam air laut juga dapat bersumber dari perkaratan kapal-kapal laut dan tiang-tiang pancang pelabuhan yang mudah berkarat. Sedangkan jenis kedua adalah logam berat non esensial atau beracun, dimana keberadaannya dalam tubuh masih belum diketahui manfaatnya atau bahkan dapat bersifat racun seperti Pb. Secara alamiah timbal dapat masuk ke dalam badan perairan melalui pengkristalan timbal di udara dengan bantuan air hujan (Ika, 2012: 182).

Keberadaan logam-logam berat di lingkungan harus selalu diberi perhatian agar tidak mengganggu keseimbangan alam maupun kehidupan. Usaha penanganan limbah yang mengandung ion-ion logam berat telah banyak dilakukan dan masih perlu dikembangkan. Pendekatan yang telah banyak dilakukan untuk mengatasi hal tersebut adalah melalui teknik pengendapan maupun menggunakan adsorben. Salah satu metode yang digunakan untuk pengolahan limbah adalah dengan adsorpsi. Berbagai macam adsorben yang dapat digunakan diantaranya adalah zeolit (Kristiyani, 2012:14).

E. Tembaga (Cu)

Salah satu logam berat yang mencemari lingkungan adalah logam tembaga. Keberadaan ion tembaga (II) dalam lingkungan dapat bersumber dari pembuangan air limbah yang berasal dari industri penyamakan kulit, pelapisan logam, tekstil, maupun industri cat. Menurut Peraturan Menteri Negara Lingkungan Hidup Nomor 02 Tahun 2011, air limbah yang dapat dialirkan ke lingkungan maksimal mengandung 1 ppm ion tembaga. Sedangkan menurut Peraturan Pemerintah No.82 Tahun 2001 jumlah maksimum ion tembaga yang diperbolehkan terdapat dalam air minum adalah sebesar 1 ppm. Konsentrasi tembaga yang melebihi 1 ppm dalam air minum yang dikonsumsi dapat menyebabkan keracunan bagi manusia. Adanya jumlah tembaga yang melebihi kapasitas yang diijinkan di dalam tubuh manusia dapat menyebabkan gangguan pencernaan seperti sakit perut, mual, muntah, diare, dan gangguan pada peredaran darah, serta beberapa kasus yang parah dapat menyebabkan gagal ginjal dan kematian. Mengingat bahaya limbah tembaga bagi kesehatan maka perlu dilakukan penanganan untuk mengatasi pencemaran akibat ion logam tembaga (Kusuma, 2014: 2).

Logam berat Cu digolongkan ke dalam logam berat esensial, artinya meskipun merupakan logam berat beracun, logam ini dibutuhkan oleh tubuh dalam jumlah sedikit. Tembaga merupakan mineral mikro, karena keberadaannya dalam tubuh sangat sedikit namun diperlukan dalam proses fisiologis. Tembaga di alam ditemukan dalam bentuk senyawa Sulfida (CuS). Walaupun dibutuhkan tubuh dalam jumlah sedikit, bila kelebihan dapat mengganggu kesehatan atau mengakibatkan keracunan (Arifin, 2008).

Logam berat Cu masuk ke dalam tatanan lingkungan sebagai akibat dari aktivitas manusia, contohnya adalah buangan industri yang memakai Cu dalam

proses produksinya, misalnya industri galangan kapal. Logam berat Cu digunakan sebagai campuran bahan pengawet, industri pengolahan kayu, dan limbah buangan rumah tangga. Kontaminasi logam berat Cu pada manusia dapat berakibat fatal. Gejala yang timbul pada manusia akibat keracunan Cu akut adalah mual, muntah, sakit perut, hemolisis, nefrosis, kejang, dan dapat mengakibatkan kematian. Pada kasus keracunan Cu yang kronis, logam berat Cu tertimbun dalam hati dan menyebabkan hemolisis. Hemolisis terjadi karena tertimbunnya unsur H_2O_2 dalam sel darah merah sehingga terjadi oksidasi dari lapisan sel yang mengakibatkan sel menjadi pecah (Darmono, 1995).



Gambar. 2.3. Logam Tembaga (Cu) Murni

Ion logam berat tembaga (Cu^{+2}) merupakan salah satu contoh ion logam berat yang berbahaya bagi kesehatan, yang dapat terakumulasi dalam makhluk hidup dan dapat menyebabkan terjadinya penyakit ataupun kelainan seperti hepatitis, anemia, dan tumor. Logam Cu ini biasanya terdapat dalam air buangan, limbah industri, atau sebagai logam bawaan. Mengonsumsi Cu dalam jumlah yang berlebihan akan menyebabkan keracunan, seperti diare, muntah, denyut nadi yang cepat, kejang dan akhirnya dapat menyebabkan kematian. Berbagai proses dapat digunakan untuk menghilangkan logam berat terlarut, misalnya dengan pertukaran

ion, pengendapan, ultrafiltrasi, dan elektrodialisis. Pertukaran ion menggunakan ion logam Cu^{+2} diharapkan dapat mengurangi kandungan ion logam Cu^{+2} sehingga kandungannya tidak membahayakan lagi bagi organisme hidup. Senyawa-senyawa seperti CuSO_4 dan $\text{Cu}(\text{OH})_2$ merupakan senyawa antibakteri yang sering digunakan (Irmawati, dkk, 2012: 1).



BAB III

METODE PENELITIAN

A. Waktu dan Tempat Penelitian

Penelitian ini telah dilaksanakan pada bulan Mei sampai September 2016 di Laboratorium Kimia Anorganik Fakultas Sains dan Teknologi Universitas Islam Negeri (UIN) Alauddin Makassar dan Science building UNHAS laboratorium XRD dan XRF.

B. Alat dan Bahan

Alat dan bahan yang digunakan pada penelitian ini adalah sebagai berikut:

1. Alat

Alat-alat yang digunakan dalam penelitian ini antara lain alat-alat gelas, *furnace*, autoklaf stainless-steel, Shaker merk *Thermo Scientific MAXQ 2000*, neraca analitik, oven merk kirin, pemanas listrik, *Atomic Absorption Spektrofotometer* (AAS) Varian AA240FS, XRD Shimadzu XRD-7000, XRF tipe *ARL Quant'X* Merk *Thermo Scientific* dan *Grand size*.

2. Bahan

Bahan-bahan yang digunakan pada penelitian ini adalah abu layang yang diambil dari PLTU Jeneponto sebagai sumber SiO_2 dan Al_2O_3 , asam klorida (HCl), asam nitrat (HNO_3), aquades (H_2O), natrium hidroksida (NaOH), aluminium hidroksida ($\text{Al}(\text{OH})_3$), kertas saring whatman No. 42.

C. Prosedur Kerja

Prosedur kerja pada penelitian ini adalah sebagai berikut:

1. Preparasi Abu Layang

Abu layang yang diperoleh dari PLTU Jeneponto, dibilas dengan aquades. Kemudian abu layang dikeringkan dan diayak menggunakan *grand size* 100 mesh. lalu diaktivasi di dalam *furnace* pada suhu 600 °C selama 2 jam. Sampel didinginkan kemudian masing-masing 60 gram abu layang dicampurkan dengan 200 mL asam klorida (HCl) dengan konsentrasi 2, 3, 4 dan 5M dan diaduk dengan waktu kontak 4 jam. Abu layang yang telah diaduk dibilas dengan aquadest (H₂O) sampai pH netral, campuran disaring dan dikeringkan dalam oven pada temperatur 105 °C selama 8 jam.

2. Pembuatan Natrium Silikat

Abu layang yang sudah dipreparasi, masing-masing dilarutkan sebanyak 5 gram dalam 50 mL NaOH 6 M. kemudian campuran tersebut dipanaskan pada suhu 90 °C selama 2 jam.

3. Pembuatan Natrium Aluminat

Prosedur ini dilakukan dengan melarutkan NaOH sebanyak 30 gram dalam 250 mL aquades dan dipanaskan. Kemudian kedalam larutan NaOH tersebut ditambahkan 20 gram Al(OH)₃ secara perlahan-lahan sambil diaduk sampai larut seluruhnya. Sehingga terbentuk larutan natrium aluminat.

4. Sintesis Zeolit

Sintesis zeolit dilakukan dengan menambahkan larutan natrium aluminat secara perlahan-lahan ke dalam larutan natrium silikat. Diaduk selama 4 jam sampai terbentuk gel yang berwarna putih. Gel yang terbentuk dimasukan dalam oven selama 2 jam dengan suhu 120 °C lalu dimasukan kedalam autoklaf selama

2 jam dengan suhu 120 °C. Padatan yang terbentuk disaring dan dikeringkan dalam oven pada temperatur 105 °C selama 2 jam. Kemudian zeolit dikarakterisasi untuk mengetahui jenis dan kandungan mineral terdapat didalamnya dengan menggunakan alat XRD.

5. Pembuatan larutan induk Cu^{2+} 1000 ppm sebanyak 1000 mL

Sebanyak 3,9062 gram padatan $\text{CuSO}_4 \cdot 5\text{H}_2\text{O}$ ditimbang dan dilarutkan ke dalam labu ukur 1000 mL, kemudian dilarutkan dengan aquadest kemudian himpitkan samapai tanda batas miniskus.

6. Pembuatan larutan baku logam Cu^{2+} 100 ppm

Sebanyak 5 mL larutan induk Cu 1000 ppm dipipet kedalam labu ukur 50 mL. Kemudian ditambahkan aquadest sampai tanda batas.

7. Pembuatan larutan sampel Cu^{2+} 20 ppm sebanyak 50 mL

Pembuatan larutan sampel dilakukan dengan memipet 10 mL larutan baku 100 ppm ke dalam labu takar 50 mL, kemudian tambahkan aquadest sampai batas.

8. Pembuatan larutan standar Cu^{2+} 0; 1; 2; 3; 4 dan 5 ppm sebanyak 50 mL

Pembuatan larutan standar dilakukan dengan cara memipet larutan baku Cu^{2+} 100 ppm masing-masing sebanyak 0,5 mL, 1 mL, 1,5 mL, 2 mL dan 2,5 mL ke dalam labu takar 50 mL kemudian ditambahkan aquadest sampai tanda batas.

9. Uji adsorbtivitas zeolit terhadap logam tembaga

Sebanyak 50 mL larutan Cu^{2+} 20 ppm, dipipet ke dalam Erlenmeyer 250 mL kemudian ditambahkan zeolit sintetik dengan massa 1 gram lalu di shaker selama 60 menit. Larutan didekantasi dan diambil filtratnya untuk diukur absorbansinya dengan spektroskopi serapan atom (SSA).



BAB IV

HASIL DAN PEMBAHASAN

A. Hasil Penelitian

Pada penelitian ini Abu layang dilakukan analisis pendahuluan agar diketahui elemen dasar atau komponen utama yang terkandung didalam Abu layang. Kemudian dilakukan sintesis zeolit dengan variasi konsentrasi HCl yaitu 2 M, 3 M, 4 M dan 5 M. setelah itu dilakukan pengontakan logam untuk mengetahui kemampuan adsorben terhadap logam berat *Cuprum* (Cu).

1. Analisis Pendahuluan Terhadap Abu Layang

Tabel 4.1. Hasil analisis XRF abu layang PLTU Jeneponto

No	Komponen	(% berat)
1	SiO ₂	41.96
2	Al ₂ O ₃	10.13
3	CaO	13.76
4	TiO ₂	0.90
5	Fe ₂ O ₃	31.46
6	MnO	0,475
7	BaO	0.253
8	SrO ₂	0.117
9	ZrO ₂	0,053
10	Nb ₂ O ₅	0,0111
11	SnO ₄	0,0107
12	RuO ₄	0.0103
13	Sb ₂ O	0.0066

Pada tabel 4.1. diatas merupakan komposisi oksida-oksida yang terdapat pada abu layang PLTU Energi Bosowa Jeneponto.

2. Sintesis zeolit dari abu layang hasil refluks 2 M; 3 M; 4 M dan 5 M

Tabel 4.2. Hasil Analisis XRD Zeolit Sintetik 2 M

No	Jenis mineral	Kadar (%)	Rumus molekul	Bentuk Kristal
1.	Lepidolit	66.7	$\text{Al}_{1.107}\text{FH}_{1.334}\text{K}_{0.667}\text{Li}_1$ 153 $\text{Mn}_{0.037}\text{O}_{7.004}\text{Si}_{2.334}$	Trigonal (Hexagonal axes)
2.	Olivin	12.5	$\text{Fe Mg O}_4\text{Si}$	Orthorombik
3.	Tsaregorodtsevit	11.7	$\text{C}_4\text{ClNO}_{12}\text{Si}_5$	Orthorombik
4.	Sodalit	9.2	$\text{Al}_3\text{ClNa}_4\text{O}_{12}\text{Si}_3$	Kubik

Pada Tabel 4.2. dapat dilihat bahwa terdapat senyawa sodalit dengan kadar 9.2% dan terdapat mineral alumina silika yaitu Lepidolit dengan kadar 66.7%, Olivin 12.5% dan Tsaregorodtsevit dengan kadar 11.7%.

Tabel 4.3. Hasil Analisis XRD Zeolit Sintetik 3 M

No	Jenis mineral	Kadar (%)	Rumus molekul	Bentuk Kristal
1.	Rhonite	34.5	$\text{Al}_2\text{Fe}_{2.4}\text{Mg}_{0.6}\text{O}_{12}\text{Si}_3$	Cubic
2.	Zeolite-L	27.7	$\text{Al}_{8.644}\text{Cs}_{3.66}\text{H}_{58.08}\text{K}_5$ $\text{O}_{85.5}\text{Si}_{27.336}$	Hexagonal
3.	Zeolite (K,Ba)-G,L	17.5	$\text{Al}_{18}\text{Ba}_{6.68}\text{H}_{60.144}$ $\text{K}_{2.19}\text{O}_{111.6}\text{Si}_{18}$	Hexagonal

4.	Sodalite	12.8	$A_{13}ClNa_4O_{12}Si_3$	Cubic
5.	Cyanide Sodalite	7.4	$C_2A_{16}N_2Na_{16}O_{24}Si_6$	Cubic

Pada tabel 4.3. terdapat senyawa Zeolite-L dengan kadar 27.7%, Zeolite (K,Ba)-G,L dengan kadar 17.5%, sodalit dengan kadar 12.8%, dan terdapat pula mineral alumina silika yaitu Rhonite dengan kadar 34.5% dan Ciyanide Sodalite dengan kadar 7.4%

Tabel 4.4. Hasil Analisis XRD Zeolit Sintetik 4 M

No	Jenis mineral	Kadar (%)	Rumus molekul	Bentuk Kristal
1.	Rhonit	30.9	$Al_2CaMg_2O_{10}SiTi$	Triklinik
2.	Sodalit	4.0	$C_{0.15}Al_3Ca_{0.616}Cl_{0.4}$ $7K_{0.7}Na_{2.64}O_{13.986}S_{0.384}Si_3$	Kubik
3.	Bicchulit	7.3	$Al_2Ca_2H_2O_8Si$	Kubik
4.	Zeolit (K, Ba)-G,L	15.2	$Al_{18}Ba_{6.68}H_{60.144}K_2$ $19O_{111.6}Si_{18}$	Heksagonal
5.	Analsim	42.6	$Al_{1.806}H_4Na_{1.71}O_{14}$ $Si_{4.194}$	Triklinik

Pada tabel 4.4 terdapat senyawa Sodalit dengan kadar 4.0%, Zeolit (K, Ba)-G,L dengan kadar 15.2% dan terdapat mineral alumina silika lainnya yaitu Rhonit dengan kadar 30.9%, Bicchulit dengan kadar 7.3% dan Analsim 42.6%.

Tabel 4.5. Hasil Analisis XRD Zeolit Sintetik 5 M

No	Jenis Mineral	Kadar (%)	Rumus molekul	Bentuk Kristal
1.	Zeolit ITQ-34	30.1	$\text{Ge}_{0.09} \text{O}_2 \text{Si}_{0.91}$	Orthorhombik
2.	Aluminium oxide corundum	23.7	Al_2O_3	Trigonal (Heksagonal Axes)
3.	Zeolit (K,Ba)-G,L	22.6	$\text{Al}_{18} \text{Ba}_{6.68} \text{H}_{60.144} \text{K}_{2.19} \text{O}_{111.6} \text{Si}_{18}$	Heksagonal
4.	Eucryptit	15.9	$\text{Al Li O}_4 \text{Si}$	Heksagonal
5.	Sodalit	7.7	$\text{C}_{0.15} \text{Al}_3 \text{Ca}_{0.616} \text{Cl}_{0.4} \text{K}_{0.7} \text{Na}_{2.64} \text{O}_{13.986} \text{S}_{0.384} \text{Si}_3$	Kubik

Pada tabel 4.5. diatas terdapat senyawa Zeolit ITQ-34 yang memiliki kadar paling tinggi yaitu 30.1%, Zeolit (K,Ba)-G,L dengan kadar 22.6%, Sodalit dengan kadar 7.7% dan terdapat pula mineral alumina silika yaitu Aluminium oxide corundum dengan kadar 23.7% dan Eucryptit 15.9%.

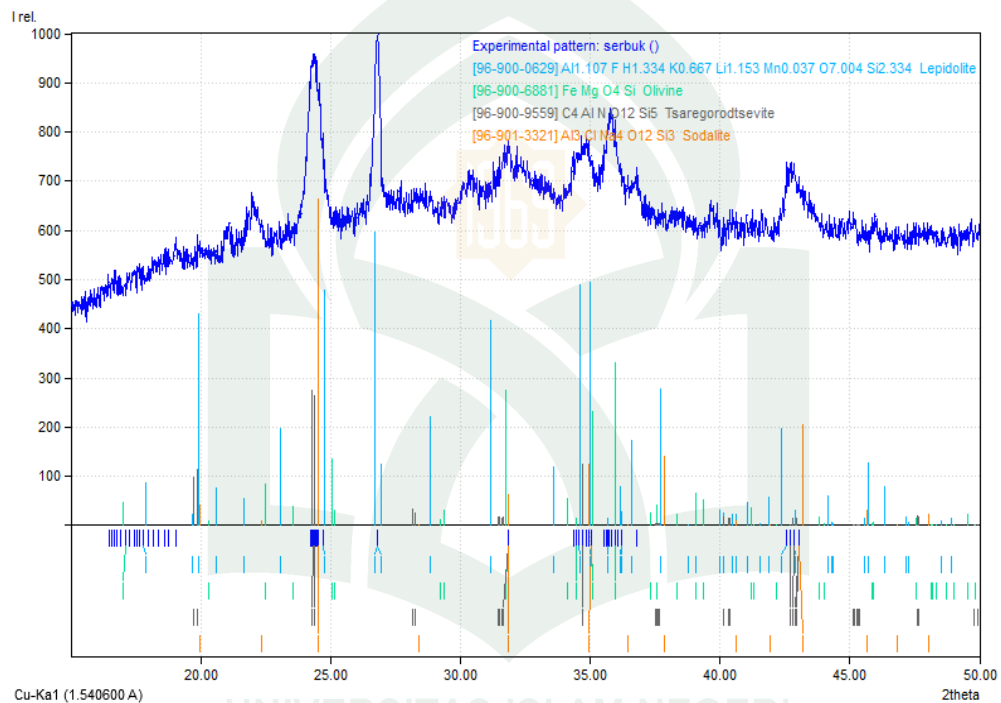
3. Adsorbtivitas zeolit sintetik

Tabel 4.6. Adsorbtivitas zeolit sintetik

Sampel	Konsentrasi		Efisiensi penyerapan (%)
	awal Cu ppm (C1)	Akhir Cu ppm (C2)	
Abu layang	20	0.0000	100%

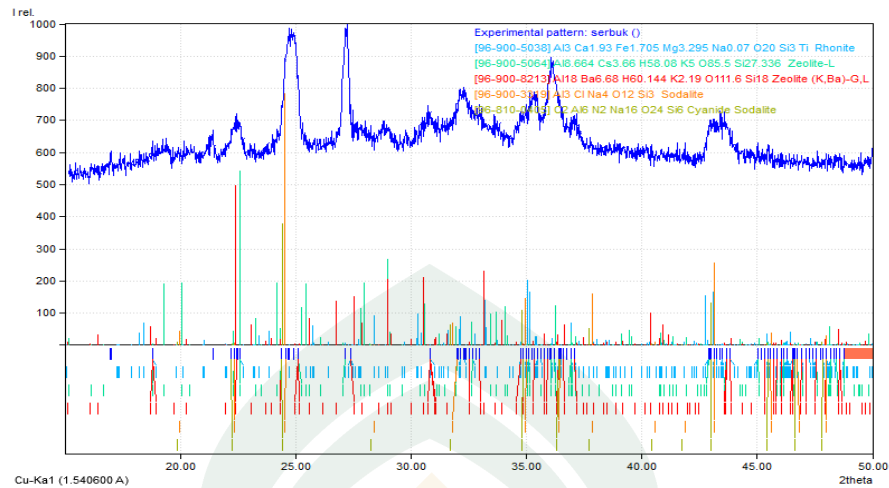
Pada tabel 4.6. Hasil Absorbansi dari zeolit sintetik 5 M dengan konsentrasi awal 20 ppm dan massa 1 gram dapat dilihat bahwa efiseinsi penyerapan logam tembaga yaitu sebesar 100%.

4. Gambar Hasil analisis XRD dengan variasi konsentrasi HCl 2M, 3M, 4M dan 5M



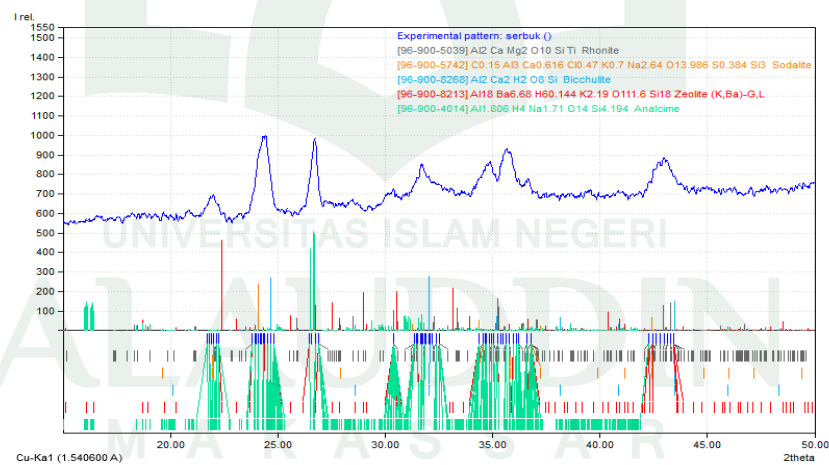
Gambar 4.1. Hasil difraktogram HCl 2M

Hasil Difraktogram pada Zeolit sintetis 1, 2M (Z.S₁ 2M) puncak utama muncul pada sudut 2θ : $17,09^\circ$ (Olivin), 2θ : $24,31^\circ$ (tsaregorodtsevit), 2θ : $26,82^\circ$ (lepidolit) dan 2θ : $24,55^\circ$ dan 2θ : $31,83^\circ$ (sodalit).



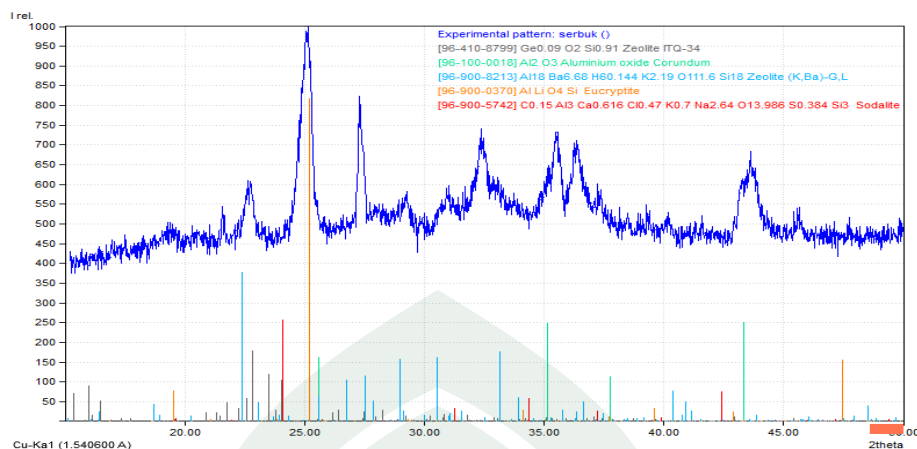
Gambar 4.2. Hasil difraktogram HCl 3M

Hasil difraktogram ZS_2 3M Puncak utama muncul pada sudut 2θ : 32.14° ; 32.34° ; 35.40° (Rhonit), 2θ : 22.34° ; 31.97° ; 35.76° ; 48.45° (Zeolit-L), 2θ : 32.54° ; 32.95 ; 34.84 ; 35.33 (Zeolit (K,Ba)-G,L), 2θ : 2456° (sodalit), 2θ : 22.21° (Sianida sodalit).



Gambar 4.3. Hasil difraktogram HCl 4M

Hasil difraktogram ZS_3 4 M Puncak utama pada refluks ZS_3 4M muncul pada sudut 2θ : 24.11° (sodalit), 24.38° (zeolit (K, Ba)-G,L), 2θ : 26.74° (analsim), 2θ : 31.46° (rhonit), 2θ : 32.07° (bicchulit).



Gambar 4.4. Hasil difraktogram HCl 5M

Hasil difraktogram ZS_3 5 M puncak utama muncul pada 2θ : 22.54°; 22.62°; 24.67°; 25.09°; 32.68° (zeolit ITQ-34), 2θ : 35.20°; 37.28°; 43.12° (aluminium oksida), 2θ : 25.04°; 46.84° (zeolit (K, Ba)-G, L), 2θ : 25.23°; 27.30° (eucryptit) dan 2θ : 21.57°; 24.61° (sodalit).

B. Pembahasan

1. Aktivasi Abu Layang dengan variasi konsentrasi HCl

Sebelum dilakukan proses sintesis dengan metode hidrotermal sampel abu layang yang diperoleh dari PLTU Energi Bosowa Jeneponto dilakukan analisis dengan alat XRF untuk mengetahui persentase senyawa atau oksida-oksida logam yang terdapat pada abu layang tersebut. Berdasarkan hasil analisis tampak bahwa kandungan utama abu layang PLTU Jeneponto adalah SiO_2 , Al_2O_3 dan Fe_2O_3 yang masing-masing adalah 41.96%; 10.13%; dan 31.46 %. Hal ini menunjukkan bahwa abu layang tersebut mempunyai kandungan silika yang tinggi, tetapi memiliki kandungan besi oksida yang cukup tinggi dan kandungan aluminium yang cukup rendah.

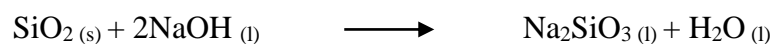
Untuk menurunkan kadar besi maka dilakukan aktivasi yaitu dengan cara aktivasi fisik maupun aktivasi kimia. Aktivasi fisik dengan cara pemanasan didalam *furnace* pada suhu 600 °C agar sisa-sisa karbon yang masih melekat pada abu layang semuanya terbakar. Hal ini sejalan dengan keadaan fisik abu layang yang berwarna coklat setelah proses aktivasi.

Setelah itu dilakukan proses aktivasi kimia dengan perendaman asam klorida (HCl) dengan variasi konsentrasi yaitu 2 M, 3 M, 4 M dan 5 M. Variasi konsentrasi ini dilakukan untuk optimasi atau mengetahui konsentrasi optimal pada penggunaan asam tersebut. Selain itu penggunaan HCl akan mengurangi konsentrasi besi oksida dan oksida-oksida alkali yang ada dalam abu layang, terutama terdapat pada bagian luar partikel abu. Oleh karena itu refluks dengan HCl akan membantu meningkatkan kandungan SiO₂ pada campuran reaksi. Selain itu pada saat refluks, abu layang mengalami dealuminasi (kadar Al menjadi rendah).

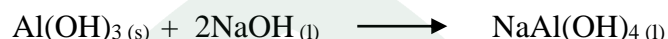
Abu layang yang telah direfluks tadi disaring dan dibilas dengan aquadest hingga mencapai pH netral. Setelah itu Abu layang dikeringkan dalam oven selama 6 jam pada suhu 105 °C untuk menghilangkan kadar air yang terdapat dalam abu layang dan memperluas ukuran pori-porinya.

2. Sintesis dan karakterisasi zeolit

Proses sintesis diawali dengan pembuatan larutan natrium silikat dengan mencampurkan NaOH dengan abu layang Kemudian campuran tersebut dipanaskan pada suhu 90 °C. Adapun reaksi pembentukannya:



Setelah itu dilanjutkan dengan pembuatan larutan natrium aluminat dengan cara mencampurkan NaOH dengan aluminium hidroksi ($\text{Al}(\text{OH})_3$) secara perlahan-lahan sambil diaduk sampai larut sempurna berikut reaksi pembentukannya:



Kemudian tahap selanjutnya dilakukan dengan menambahkan larutan natrium aluminat yang telah dibuat secara perlahan-lahan kedalam larutan natrium silikat. Larutan tersebut diaduk selama 4 jam sampai terbentuk gel yang berwarna putih. Gel yang terbentuk di oven selama 2 jam pada suhu 120°C agar suhu larutan cepat naik. Kemudian dihidrotermal dalam autoklaf selama 2 jam dengan suhu 120°C dengan tekanan 1 Pa. padatan kristal yang terbentuk tersebut dikeringkan dalam oven pada suhu 105°C selama 2 jam agar kadar air yang terkandung dalam kristal tersebut benar-benar hilang. Berikut merupakan reaksi pembentukan zeolit secara umum:



Selanjutnya zeolit dikarakterisasi dengan alat XRD. Pola difraksi sinar x dari sampel abu layang dan material zeolit sintetis diperoleh dengan menggunakan Difraktometer XRD-7000 merk shimadzu pada 40 kv 30 mA. Data yang diperoleh kemudian dicocokkan dengan intensitas dan sudut (2θ) yang kemudian dicocokkan dengan data pola difraksi sinar-X JCPDS (*Joint*

Committee For Powder diffraction Standar) sehingga senyawa yang terdapat dalam sampel dapat diidentifikasi.

Hasil difraktogram menunjukkan bahwa hasil proses hidrotermal dengan variasi konsentrasi 2M, 3M, 4M dan 5M pada temperatur 120 °C selama 2 jam yaitu pada konsentrasi yang lebih tinggi (5M), intensitas puncak difraktogram lebih tinggi dibandingkan dengan 2M, 3M dan 4M. hal ini berarti terjadi kenaikan kristalinitas produk hidrotermal. Semakin tinggi konsentrasi maka menyebabkan semakin meningkat pula produk atau kristal yang dihasilkan

3. Adsorbtivitas zeolit sintetis terhadap logam tembaga (Cu)

Adsorbtivitas zeolit sintetis terhadap logam Cu dilakukan dengan membuat limbah cair sintetis sebanyak 50 mL larutan Cu^{2+} 20 ppm. Sebelum itu zeolit yang ingin dianalisis dipanaskan dalam oven dengan suhu 180 °C selama 60 menit. Hal ini dilakukan agar kadar air yang terdapat dalam zeolit tersebut semua menguap sehingga dapat memperlebar pori-pori zeolit dan dapat mengikat logam secara optimal.

Uji adsorbtivitas zeolit sintetis terhadap logam Cu dilakukan untuk mengetahui kemampuan zeolit sintetis dalam menyerap logam berat khususnya logam Cu. Tidak dilakukan optimalisasi karena hanya dilakukan uji adsorbtivitas terhadap salah satu logam berat yaitu tembaga (Cu).

Kemampuan adsorpsi dari zeolit untuk menyerap logam tembaga pada limbah cair sintetis pada kondisi optimal yaitu dengan berat 1 gram dan waktu selama 60 menit. diperoleh Cu dapat menyerap sebesar 100% untuk konsentrasi 20 ppm.

BAB V

PENUTUP

A. Kesimpulan

Kesimpulan pada penelitian ini adalah sebagai berikut:

1. Karakteristik zeolit dengan metode hidrotermal dengan variasi refluks konsentrasi HCl (2M; 3M; 4M dan 5M) diperoleh kristalinitas yang tinggi pada hasil refluks konsentrasi HCl 5M dengan tipe Zeolit ITQ-34, Zeolit (K.Ba) G-L, Sodalit dan beberapa jenis mineral alumina-silika seperti eucryptit dan aluminum oksida corundum.
2. Adsorbtivitas Zeolit sintetik sangat efektif terhadap logam tembaga (Cu) karena mampu menyerap dengan tingkat efisiensi sebesar 100%.

B. Saran

Saran yang dapat diberikan pada penelitian ini adalah:

1. Untuk peneliti selanjutnya untuk mendapatkan produk zeolit melalui proses hidrotermal perlu dipilih sampel (Abu layang) yang kandungan silika dan aluminanya (SiO_2 dan Al_2O_3) yang tinggi dan kandungan Fe_2O_3 yang rendah.
2. Perlu diperhatikan suhu dan tekanan pada saat proses hidrotermal.
3. Perlu dilakukan pula optimalisasi konsentrasi terhadap logam tembaga (Cu).

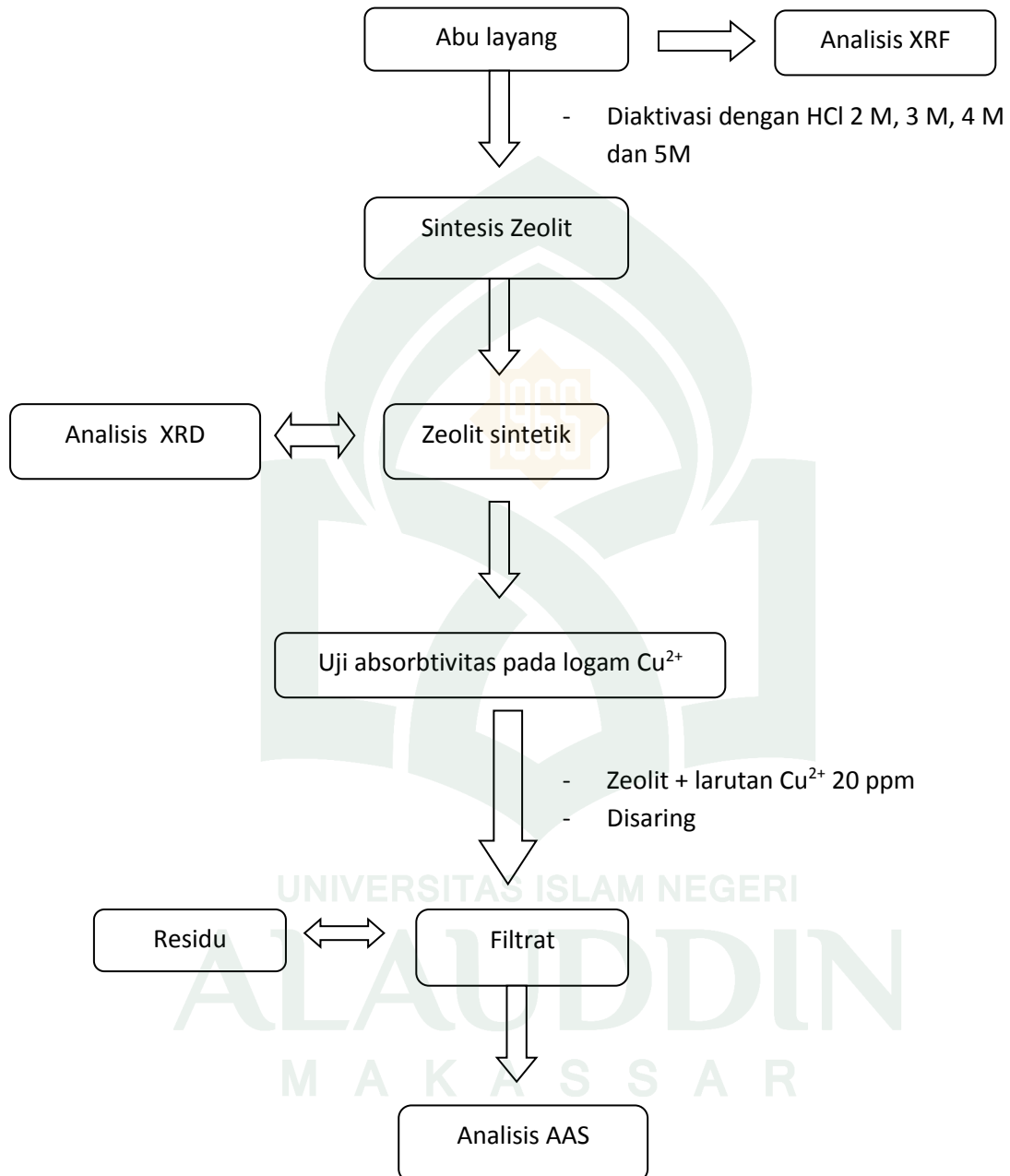
DAFTAR PUSTAKA

- Astuti, Widi dan F. Widhi Mahatmanti. "Aktivasi Abu Layang Batubara dan Aplikasinya Sebagai Adsorben Timbal Dalam Pengolahan Limbah Elektroplating". *Saintekno*, Vol. 8, No. 2, 2010.
- Atkins, P.W. *Physical Chemistry*, terj. Irma I, Kartohadiprodjo. *Kimia Fisika*. Jakarta: Erlangga, 1996.
- Darmono. *Logam Dalam Sistem Biologi Makhluk Hidup*. Jakarta: UI-Press, 1995.
- Ika, dkk. "Analisis Logam timbal (Pb) dan Besi (Fe) Dalam Air Laut Di Wilayah Pesisir Pelabuhan Ferry Taipa Kecamatan Palu Utara". *Jurnal Akademi Kimia*, Vol. 1, No.4, 2012.
- Irmawati, Amir Abdullah, Halida Sophia. "Pengaruh Ion Logam Tembaga (Cu^{2+}) Terhadap Daya Adsorpsi Birnessite Sintesis" *Artikel Ilmiah Kimia*. Kampus Binawidya Pekanbaru. 2013.
- Itawita, Dkk. "Pemurnian Zeolit Dari Abu Layang (*Fly Ash*) Dengan HCl Dan Uji Absorptivitas Untuk Remediasi Logam Cu Dan Cr Dari Limbah Cair Elektroplating". *Jurnal ind. Che. Acte* Vol. 3, No. 1 November 2012.
- Jumaeri, W. Astuti. W.T.P. Lestari. "Preparasi Dan Karakterisasi Zeolit Dari Abu Layang Batubara Secara Alkali Hidrotermal". *Reaktor* Vol. 11, No. 1 Juni 2007 (38-44).
- Jumaeri, dkk. "Pengaruh Konsentrasi NaOH Dan Temperatur Pada Sintesis Zeolit Dari Abu Layang Secara Alkali Hidrotermal." *Journal Of Indonesia Zeolites*. Vol. 8. No. 1, Mei, 2009.
- Kementrian Agama RI, Al-Qur'an & Terjemahnya
- Kristiyani, Dyah. "Pemanfaatan Zeolit Abu Zekam Padi Untuk Menurunkan Ion Pb^{2+} Pada Air Sumur". *Indonesian Journal Of Chemical Science*. Vol. 1, No. 1, Mei 2012.
- Kusuma, I Dewa Gede Dwi Prabhasastra, Ni Made Wiratini, I Gusti Lanang Wiratma. "Isoterm Adsorpsi Cu^{2+} oleh Biomassa Rumpun Laut *Euclima spinosum*. Singaraja: *e-Journal Kimia Visvitalis Universitas Pendidikan Ganesha Jurusan Pendidikan Kimia* (Volume 2 Nomor 1 Tahun 2014)
- Kwartiningsih, Endang, dkk. "Transfer Massa Pada Limbah Elektroplating Menggunakan Eceng Gondok Sebagai Adsorben". *Ekuilibrium*, Vol. 9, No.1, Januari, 2010.

- Lestari, Dewi Yuanita. "Kajian Modifikasi dan Karakterisasi Zeolit Alam Dari Berbagai Negara." *Prosiding Seminar Nasional Kimia dan Pendidikan Kimia*. ISBN: 978. Oktober, 2010.
- Lestari, Yuliani Tri. "Pemanfaatan Limbah abu Terbang (Fly Ash) Batubara Sebagai Adsorben Untuk Penentuan Kadar Gas NO₂ Di Udara". *Skripsi FMIPA Universitas Jember*, 2013.
- Ma'rifat. Dkk. "Sintesis Zeolit Dari Abu Dasar Batubara dan Aplikasinya Sebagai Adsorben Logam Merkuri (II)". *Molekul*, Vol. 9, No. 1. Mei, 2014 (75-85).
- Mufrodi, Zahrul. "Modifikasi Limbah Abu Layang sebagai Material Baru Adsorben". *Prosiding Seminar Nasional Teknik kimia (Kejuangan)*, ISSN 1693-4393, Yogyakarta 2010.
- Putro, Agung Nur Hananto dan Sherviena Amanda Ardhiany. Proses Pengambilan Kembali Bioetanol Hasil Fermentasi dengan Metode Adsorpsi Hidrofobik. *Skripsi Jurusan Teknik Kimia Fakultas Teknik Universitas Diponegoro*. Semarang, 2010.
- Al-Qur'an, Al-Karim
- Shihab, M. Quraish. *Tafsir Almisbah Volume 1 dan 10*. Ciputat: Lentera Hati, 2009.
- Sudarmaji, dkk. "Toksikologi Logam Berat B3 dan Dampaknya Terhadap Kesehatan". *Jurnal Kesehatan Lingkungan*, Vol. 2, No. 2, Januari, 2006.
- Sunardi. Abdullah. "Konversi Abu Layang Batu Bara Menjadi Zeolit dan Pemanfaatannya Sebagai Adsorben Merkuri (II)". *Jurnal Sains dan Terapan Kimia* Vol. 1, No. 1. Januari 2007 (1-10).
- Suprihatin dan Erriek A. Biosorpsi Logam Cu (II) dan Cr (VI) Pada Limbah Elektroplating Dengan menggunakan Biomassa *Phanerochaete Chrysosporium*". *Jurnal Teknik Kimia*, Vol. 4, No. 1, September, 2009.
- Sutarno, dkk. "Sintesis Faujasite Dari Abu Layang Batubara: Pengaruh Refluks Dan Penggerusan Abu Layang Batubara Terhadap Kristalinitas Faujasite." *Jurnal Matematika Dan Sains*. Vol. 9, No. 3, September, 2004.
- Sholichah, Fitriani, dkk. "Pengaruh Waktu Hidrotermal Pada Sintesis Zeolit Dari Abu Sekam Padi Serta Aplikasinya Sebagai *Builder* Deterjen." *Chem Info*. Vol 1, No 1. 2013.
- Terdkiatburana, T., Wang, S. and Tadé, M.O. "Adsorption of heavy metal ions by natural and synthesised zeolites for wastewater treatment". *Int. J. Environment and Waste Management*, Vol. 3, Nos. 3/4, 2009. Pp.327-335.
- Wustoni, Shofarul. Dkk. "Sintesis Zeolit Mordenit Dengan Bantuan Benih Mineral Alam Indonesia". *Jurnal Matematika & Sains*, Vol. 16, No. 3. Desember, 2011.

Zakaria, Ahmad. Dkk. “Adsorpsi Cu(II) Menggunakan Zeolit Sintetis Dari Abu Terbang Batu Bara”. *Prosiding pertemuan ilmiah ilmu pengetahuan dan teknologi bahan 2012*, ISSN 1411-2213.



Lampiran 1. Bagan penelitian sintesis zeolit secara umum

Lampiran 2. Skema kerja sintesis zeolit

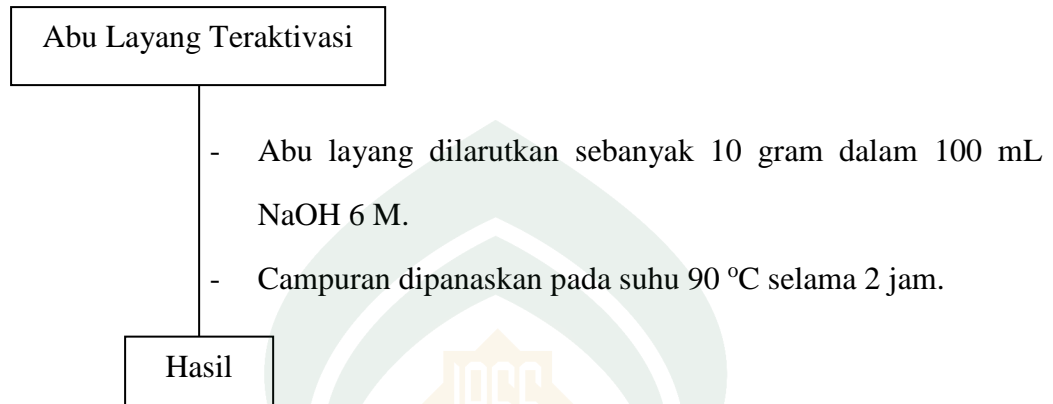
1. Preparasi Abu Layang

Abu Layang

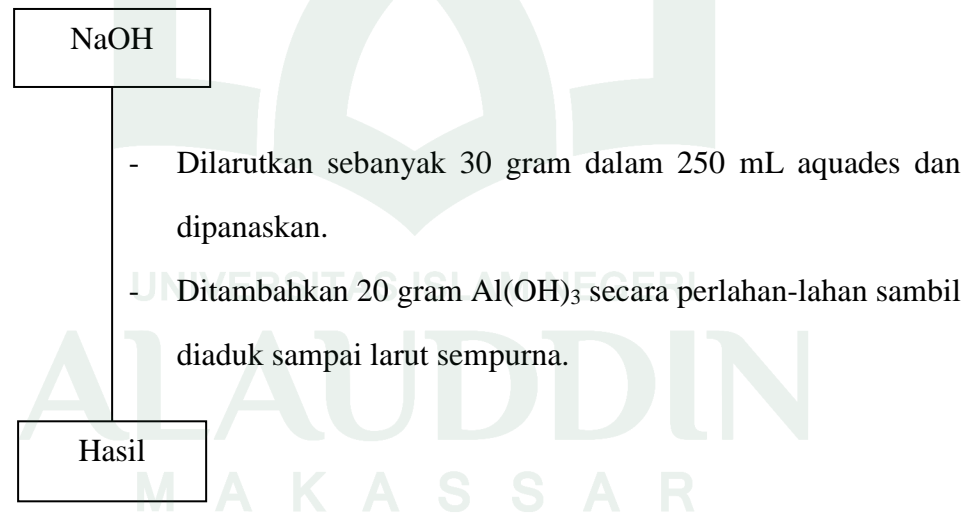
- Abu layang yang diperoleh dari PLTU dibilas dengan aquadest
- Dikeringkan dan diayak dengan grand size 120 mesh.
- Abu layang yang sudah diayak diaktivasi pada suhu 600 °C selama 2 jam dalam tanur. Kemudian didinginkan.
- 60 gram abu layang dicampurkan dengan 200 mL HCl dengan variasi konsentrasi 2, 3, 4, dan 5 M.
- Sampel diaduk dengan magnetik stirer dengan lama pengadukan 4 jam.
- Abu layang yang telah diaduk, dibilas dengan aquades sampai pH netral.
- Campuran disaring dan dikeringkan dalam open dengan suhu 105 °C selama 6 jam.

Hasil

2. Pembuatan natrium silikat



3. Pembuatan natrium aluminat



4. Sintesis Zeolit

Natrium Silikat

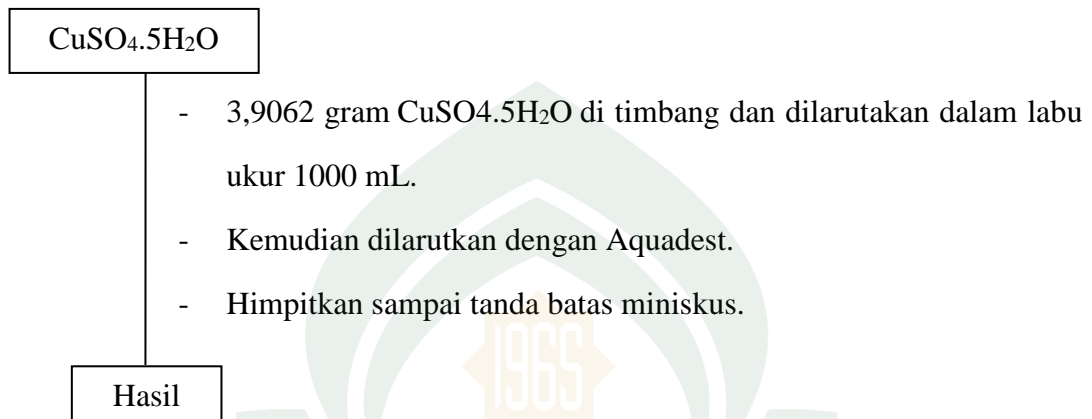
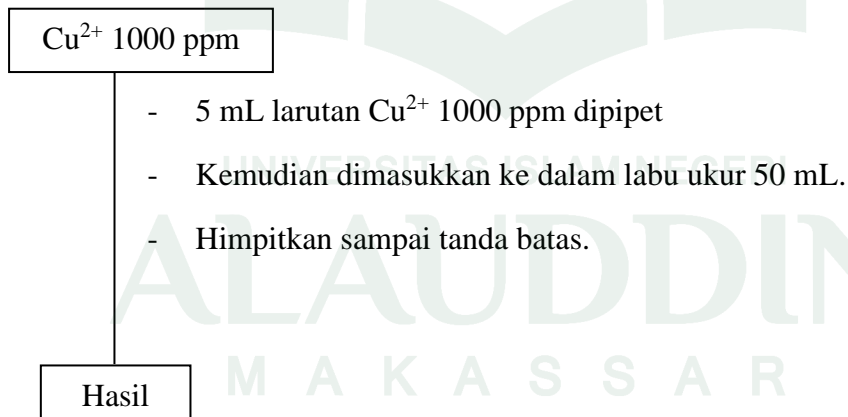
- Larutan aluminat yang telah dibuat sebelumnya, ditambahkan ke dalam larutan silikat secara perlahan-lahan.
- Diaduk selama 4 jam sampai terbentuk gel yang berwarna putih

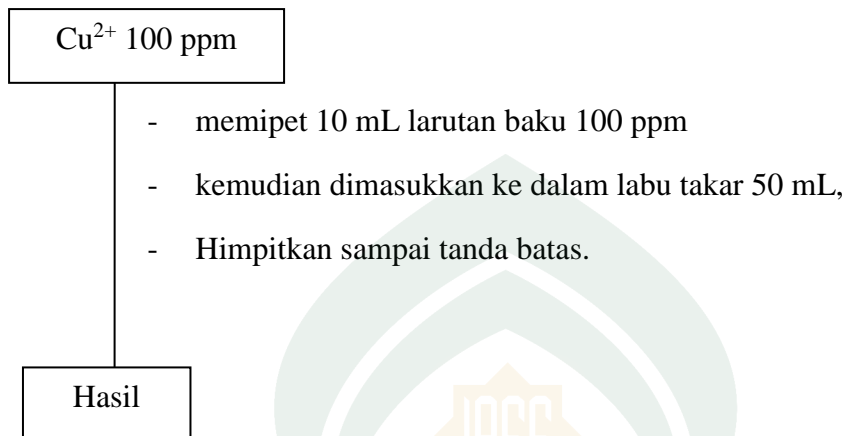
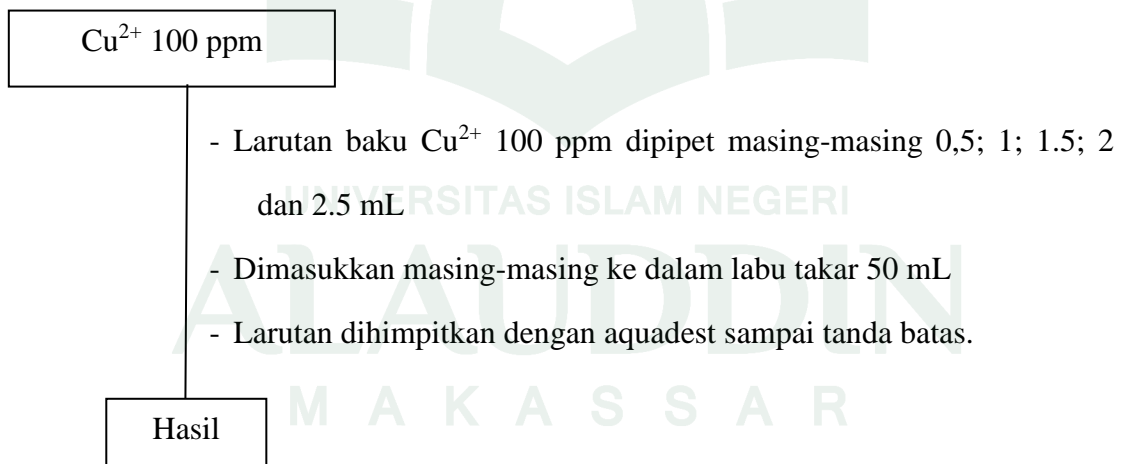
Gel putih

- Gel dimasukkan ke dalam oven selama 2 jam.
- Kemudian dihidrotermal dalam autoklaf selama 2 jam pada suhu 120 °C.
- Padatan yang terbentuk disaring dan dicuci dengan aquades.
- Padatan kristal kemudian dikeringkan dalam oven pada temperatur 105 °C selama 2 jam.
- Zeolit dikarakterisasi untuk mengetahui jenis dan gugus fungsinya.

Hasil

ALAUDDIN
M A K A S S A R

5. Pembuatan larutan induk Cu^{2+} 1000 ppm dalam 1000 mL**6. Pembuatan larutan baku Cu^{2+} 100 ppm dalam 50 mL**

7. Pembuatan larutan sampel Cu^{2+} 20 ppm sebanyak 50 mL**8. Pembuatan larutan standar Cu^{2+} 1, 2, 3, 4 dan 5 ppm dalam 50 mL**

9. Uji Adsorbtivitas

Cu²⁺ 100 ppm

- 50 mL larutan Cu²⁺ 20 ppm masing-masing dipipet ke dalam Erlenmeyer 250 mL.
- Ditambahkan zeolit sintetik sebanyak 1 gram kemudian larutan dishaker selama 60 menit.
- Larutan didekantasi dan diambil filtratnya untuk diukur nilai adsorbansinya dengan spektroskopi serapan atom (SSA).

HASIL

Lampiran 3. Absorbansi deret standar**1. Tabel deret standar logam Cu**

No	Konsentrasi standar Cu (ppm) (x)	Absorbansi (y)	Y ²	X ²	X.Y
1	0	0.0004	0.00000016	0	0
2	1	0.0643	0.00413449	1	0.0643
3	2	0.1298	0.01684804	4	0.2596
4	3	0.1957	0.03829849	9	0.5871
5	4	0.2579	0.06651241	16	1.0316
6	5	0.3127	0.09778129	25	1.5635
n = 6	$\sum x = 15$	$\sum y = 0.9608$	$\sum y^2 = 0.22357488$	$\sum x^2 = 55$	$\sum xy = 3.5079$

a. Persamaan garis linear

$$Y = a + bx$$

$$b = \frac{n \cdot \sum xy - \sum x \cdot \sum y}{n \cdot \sum x^2 - (\sum x)^2}$$

$$= \frac{6 \times 3.5079 - 15 \times 0.9608}{6 \times 55 - (15)^2}$$

$$= \frac{21.0474 - 14.412}{330 - 225}$$

$$= \frac{6.6354}{105}$$

$$= 0.063$$

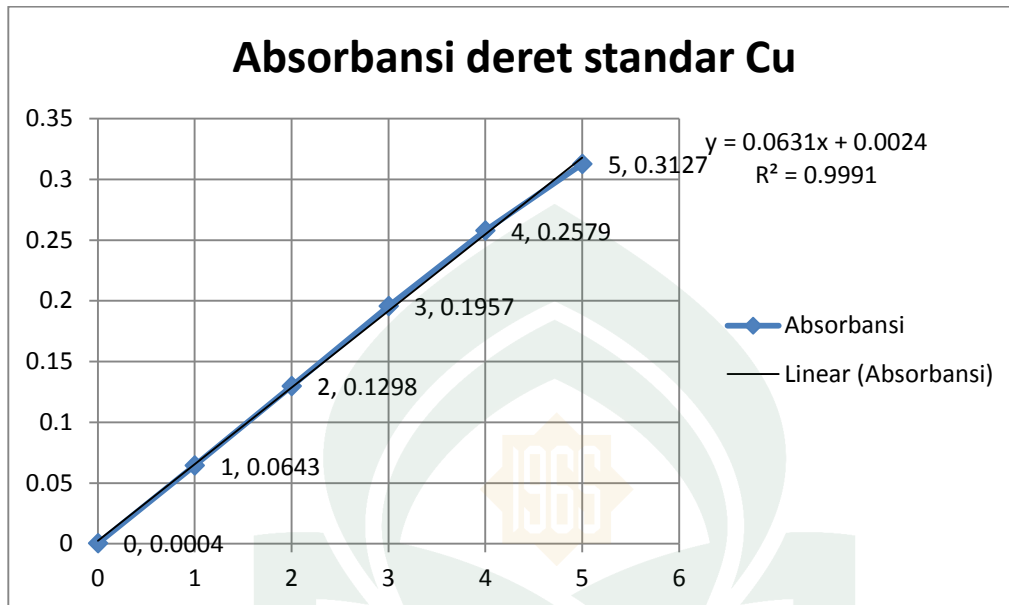
$$\begin{aligned}
 a &= Y_{rata-rata} - b \cdot X_{rata-rata} \\
 &= 0.1601 - 0.063 \times 2.5 \\
 &= 0.1601 - 0.1575 \\
 &= 0.002
 \end{aligned}$$

Jadi, diperoleh persamaan linier adalah $y = 0.063x + 0.002$

b. Nilai Regresi

$$\begin{aligned}
 R^2 &= \frac{n \cdot \sum xy - \sum x \cdot \sum y}{\sqrt{((n \cdot \sum x^2) - (\sum x)^2)((n \cdot \sum y^2) - (\sum y)^2)}} \\
 R^2 &= \frac{6 \times (3.5079) - (15) \times (0.9608)}{\sqrt{((6 \times 55 - (15)^2)((6 \times 0.22357488) - (0.9608)^2)}} \\
 R^2 &= \frac{21.0474 - 14.412}{\sqrt{((330 - 225)) \times ((1.34144928) - (0.92313664))}} \\
 R^2 &= \frac{6.6354}{\sqrt{(105)(0.41831264)}} \\
 R^2 &= \frac{6.6354}{\sqrt{(43.9228272)}} \\
 R^2 &= \frac{6.6354}{6.6274299091} \\
 R^2 &= 0,999
 \end{aligned}$$

2. Grafik Absorbansi standar Cu²⁺



Lampiran 4. Perhitungan efisiensi adsorpsi zeolit

C_1 = Konsentrasi awal larutan sampel

C_2 = Konsentrasi akhir larutan sampel

$$\text{Efisiensi (\%)} = \frac{C_1 - C_2}{C_1} \times 100\%$$

$$= \frac{20 - 0.0000}{20} \times 100\%$$

$$= \frac{20}{20} \times 100\%$$

$$= 1 \times 100\%$$

$$= 100\%$$

Lampiran 5. Hasil analisis XRD zeolit sintetis (ZS)

1. ZS1 2M

Match! Phase Analysis Report

Sample: serbuk ()

Sample Data

File name	ZS1#2M.RAW
Data range	14.990° - 49.990°
Number of points	1751
Step size	0.020
Rietveld refinement converged	No
Alpha2 subtracted	No
Background subtr.	No
Data smoothed	No
2theta correction	-0.01°
Radiation	X-rays
Wavelength	1.540600 Å

Matched Phases

Index	Amount (%)	Name	Formula sum
A	66.7	Lepidolite	Al1.107 F H1.334 K0.667 Li1.153 Mn0.037 O7.004 Si2.334
B	12.5	Olivine	Fe Mg O4 Si
C	11.7	Tsaregorodtsevitte	C4 Al N O12 Si5
D	9.2	Sodalite	Al3 Cl Na4 O12 Si3

A: Lepidolite (66.7 %)

Formula sum	Al1.107 F H1.334 K0.667 Li1.153 Mn0.037 O7.004 Si2.334
Entry number	96-900-0629
Figure-of-Merit (FoM)	0.737697
Total number of peaks	197
Peaks in range	196
Peaks matched	12
Intensity scale factor	0.60
Space group	P 31 1 2
Crystal system	trigonal (hexagonal axes)
Unit cell	a= 5.2000 Å c= 29.7600 Å
I/Icor	0.42
Calc. density	1.887 g/cm ³
Reference	Brown B. E., "The crystal structure of a 3T lepidolite Locality: Coolgardie, Australia", American Mineralogist 63 , 332-336 (1978)

B: Olivine (12.5 %)

Formula sum	Fe Mg O4 Si
Entry number	96-900-6881
Figure-of-Merit (FoM)	0.749468
Total number of peaks	174
Peaks in range	174
Peaks matched	5
Intensity scale factor	0.33
Space group	P b n m

Crystal system Orthorhombic
 Unit cell $a = 4.8168 \text{ \AA}$ $b = 10.4029 \text{ \AA}$ $c = 6.0800 \text{ \AA}$
 I/lcor 1.24
 Calc. density 3.754 g/cm^3
 Reference Redfern S. A. T., Artioli G., Rinaldi R., Henderson C. M. B., Knight K. S., Wood B. J., "Octahedral cation ordering in olivine at high temperature. II: an in situ neutron powder diffraction study on synthetic MgFeSiO₄ (Fa50) Sample: T = 450 C", Physics and Chemistry of Minerals **27**, 630-637 (2000)

C: Tsaregorodtsevite (11.7 %)

Formula sum C₄ Al N O₁₂ Si₅
 Entry number 96-900-9559
 Figure-of-Merit (FoM) 0.704578
 Total number of peaks 233
 Peaks in range 230
 Peaks matched 13
 Intensity scale factor 0.27
 Space group I 2 2 2
 Crystal system Orthorhombic
 Unit cell $a = 8.9840 \text{ \AA}$ $b = 8.9370 \text{ \AA}$ $c = 8.9270 \text{ \AA}$
 I/lcor 1.10
 Calc. density 1.953 g/cm^3
 Reference Sokolova E. V., Rybakov V. B., Pautov L. A., Pushcharovsky D Yu, "Structural changes in tsaregorodtsevite", Doklady Akademii Nauk SSSR **332**, 309-312 (1993)

D: Sodalite (9.2 %)

Formula sum Al₃ Cl Na₄ O₁₂ Si₃
 Entry number 96-901-3321
 Figure-of-Merit (FoM) 0.728568
 Total number of peaks 55
 Peaks in range 54
 Peaks matched 4
 Intensity scale factor 0.66
 Space group P -4 3 n
 Crystal system Cubic
 Unit cell $a = 8.8807 \text{ \AA}$
 I/lcor 3.39
 Calc. density 2.298 g/cm^3
 Reference Antao S. M., Hassan I., Wang J., Lee P. L., Toby B. H., "State-of-the-art high-resolution powder x-ray diffraction (HRPXRD) illustrated with Rietveld structure refinement of quartz, sodalite, tremolite, and meionite Locality: Bancroft, Ontario", The Canadian Mineralogist **46**, 1501-1509 (2008)

Candidates

Name	Formula	Entry No.	FoM
(Calcium, Strontium) Nitridomolybdate (VI)	C ₁₅ N O P ₂	96-210-09360.8241	
Nitride Oxide	Ca _{35.91} Mo ₁₂ N ₅₆ O ₃ Sr _{15.09}	96-701-39390.8142	
(Calcium, Strontium) Nitridomolybdate (VI)	Ca _{37.6} Mo ₁₂ N ₅₆ O ₃ Sr _{13.4}	96-701-39380.8123	
Nitride Oxide			
Florkeite	Al ₈ Ca ₂ H ₁₈ K _{2.929} Na O ₄₄ Si ₈	96-901-38880.8004	
Carbon cyclo-octasulfur (76.6/6)	S ₄₈	96-100-16690.8002	

C72Cl4	C73 Cl4 S2	96-410-36530.7967
Antimony	Sb	96-901-30110.7958
Caesium trichlorocadmate	Cd Cl3 Cs	96-101-01240.7939
Lunenburgite	B2 H18 Mg3 O20 P2	96-900-13630.7901
Trimercury bis(tetrachloroaluminate)	Al2 Cl8 Hg3	96-100-80530.7882
Dodecapotassium Henicosigold	Au21 K12 Sn4	96-430-37050.7879
Tetrastannide	F7 K2 Ta	96-230-01980.7875
Dipotassium heptafluorotantalate(V)	Li O2 Rh	96-100-81620.7862
Rhodium(III) lithium oxide	Co.15 Al3 Ca0.616 Cl0.47 K0.7	96-900-57420.7320
Sodalite	Na2.64 O13.986 S0.384 Si3	
Tetrasodium trialuminium tris(silicate) chloride (Sodalite)	Al6 Cl2 Na8 O24 Si6	96-100-00290.0000
Magnesium iron(II) silicate (1.8/.2/1) (Olivine)	Fe0.2 Mg1.8 O4 Si	96-101-04980.0000
Octasodium tecto-hexaalumohexasilicate dichloride (Sodalite)	Al6 Cl2 Na8 O24 Si6	96-101-11400.0000
Octasodium tecto-hexaalumohexasilicate dichloride (Sodalite)	Al6 Cl2 Na8 O24 Si6	96-101-11860.0000
lithium chloro beryllphosphate sodalite	Be3 Cl Li4 O12 P3	96-200-95940.0000
lithium chloro beryllarsenate sodalite	As3 Be3 Cl Li4 O12	96-200-95950.0000
Dehydrated Ca-A zeolite	Al96 Ca48 O384 Si96	96-210-21280.0000
Dehydrated Ca-A zeolite	Al96 Ca48 O384 Si96	96-210-21290.0000
Dehydrated Ca-A zeolite	Al96 Ca48 O384 Si96	96-210-21300.0000
Dehydrated Ca-A zeolite	Al96 Ca48 O384 Si96	96-210-21310.0000
Zeolite STF- template removed using SQUEEZE	F O32 Si16	96-400-10910.0000
Zeolite ITQ-34	Ge0.09 O2 Si0.91	96-410-87990.0000
Zeolite ITQ-24	O2 Si	96-411-05030.0000
zeolite ITQ-12	O48 Si24	96-411-28830.0000
Zeolite ITQ-49	Ge0.1755 O2 Si0.8245	96-411-85090.0000
Ag_zeolite_A	Ag71.89 Al96 O466.81 Si96	96-710-82830.0000
Ag_zeolite_A?	Ag71.568 Al96 O469.91 Si96	96-710-82840.0000
Ag_zeolite_A	Ag71.14 Al96 O464.45 Si96	96-710-82850.0000
Ag_zeolite_A	Ag69.76 Al96 O471.42 Si96	96-710-82860.0000
Ag_zeolite_A	Ag69.45 Al96 O473.69 Si96	96-710-82870.0000
Ag_zeolite_A	Ag68.05 Al96 O476.24 Si96	96-710-82880.0000
Ag_zeolite_A	Ag67.94 Al96 O477.46 Si96	96-710-82890.0000
Ag_zeolite_A	Ag67.63 Al96 O474.72 Si96	96-710-82900.0000
Ag_zeolite_A	Ag68.26 Al96 O476.17 Si96	96-710-82910.0000
Ag_zeolite_A	Ag67.88 Al96 O474.92 Si96	96-710-82920.0000
Ag_zeolite_A	Ag68.03 Al96 O472.88 Si96	96-710-82930.0000
Cyanide Sodalite	C2 Al6 N2 Na16 O24 Si6	96-810-04050.0000
Zeolite A(BW)	As4 H8 Li4 O20 Zn4	96-810-15500.0000
Co-Olivine	Co2 O4 Si	96-900-03930.0000
Co-Olivine	Co2 O4 Si	96-900-03940.0000
Co-Olivine	Co2 O4 Si	96-900-03950.0000
Ni-Olivine (Liebenbergite)	Ni1.985 O4 Si1.015	96-900-03970.0000
Olivine	Fe0.34 Mg1.14 Ni0.52 O4 Si	96-900-08670.0000
Olivine	Fe0.08 Mg1.02 Ni0.9 O4 Si	96-900-08680.0000
Olivine	Co0.401 Mg1.599 O4 Si	96-900-10660.0000
Olivine	Co0.953 Mg1.047 O4 Si	96-900-10670.0000
Olivine	Co1.405 Mg0.595 O4 Si	96-900-10680.0000
Olivine	Co1.735 Mg0.265 O4 Si	96-900-10690.0000

and 150 others...

Search-Match

Settings

Reference database used	COD-Inorg REV81284 2013.04.15
Automatic zeropoint adaptation	Yes
Minimum figure-of-merit (FoM)	0.60
Parameter/influence 2theta	0.50
Parameter/influence intensities	0.50
Parameter multiple/single phase(s)	0.50

Criteria for entries added by user

Reference:

Entry number:

96-101-0498;96-900-0393;96-900-0394;96-900-0395;96-900-0397;96-900-0867;96-900-0868;96-900-1066;96-900-1067;96-900-1068;96-900-1069;96-900-1070;96-900-1097;96-900-1098;96-900-1099;96-900-1100;96-900-1101;96-900-1102;96-900-1103;96-900-1194;96-900-1195;96-900-1196;96-900-1197;96-900-1198;96-900-1199;96-900-1200;96-900-1201;96-900-1202;96-900-1203;96-900-1204;96-900-1205;96-900-1206;96-900-2512;96-900-2513;96-900-2514;96-900-2515;96-900-2516;96-900-2586;96-900-2587;96-900-2588;96-900-2589;96-900-2590;96-900-2591;96-900-2592;96-900-2593;96-900-2594;96-900-2595;96-900-2596;96-900-2597;96-900-2598;96-900-2599;96-900-2600;96-900-2601;96-900-2602;96-900-2603;96-900-2604;96-900-2605;96-900-2606;96-900-2607;96-900-2608;96-900-2609;96-900-2610;96-900-2611;96-900-2612;96-900-2613;96-900-2614;96-900-2615;96-900-2616;96-900-2617;96-900-2618;96-900-2619;96-900-2620;96-900-2621;96-900-2622;96-900-2623;96-900-2624;96-900-2625;96-900-2626;96-900-2627;96-900-2628;96-900-2629;96-900-2630;96-900-2631;96-900-2632;96-900-2633;96-900-2634;96-900-5857;96-900-5909;96-900-5910;96-900-5911;96-900-5912;96-900-5913;96-900-5914;96-900-5915;96-900-5916;96-900-5917;96-900-5918;96-900-5919;96-900-5920;96-900-5921;96-900-6391;96-900-6392;96-900-6393;96-900-6394;96-900-6395;96-900-6396;96-900-6397;96-900-6398;96-900-6399;96-900-6400;96-900-6401;96-900-6402;96-900-6403;96-900-6404;96-900-6876;96-900-6877;96-900-6878;96-900-6879;96-900-6880;96-900-6881;96-900-6882;96-900-6883;96-900-6884;96-900-6885;96-900-6886;96-900-6887;96-900-6888;96-900-6889;96-900-6890;96-900-6891;96-900-6892;96-900-6893;96-901-2682;96-100-0029;96-101-1140;96-101-1186;96-200-9594;96-200-9595;96-810-0405;96-900-3319;96-900-3320;96-900-3321;96-900-3322;96-900-3323;96-900-3324;96-900-3325;96-900-3326;96-900-3327;96-900-3328;96-900-3329;96-900-3330;96-900-3331;96-900-3332;96-900-4169;96-900-5051;96-900-5052;96-900-5053;96-900-5054;96-900-5742;96-901-3321;96-210-2128;96-210-2129;96-210-2130;96-210-2131;96-400-1091;96-410-8799;96-411-0503;96-411-2883;96-411-8509;96-710-8283;96-710-8284;96-710-8285;96-710-8286;96-710-8287;96-710-8288;96-710-8289;96-710-8290;96-710-8291;96-710-8292;96-710-8293;96-810-1550;96-900-5061;96-900-5062;96-900-5063;96-900-5064;96-900-8159;96-900-8213

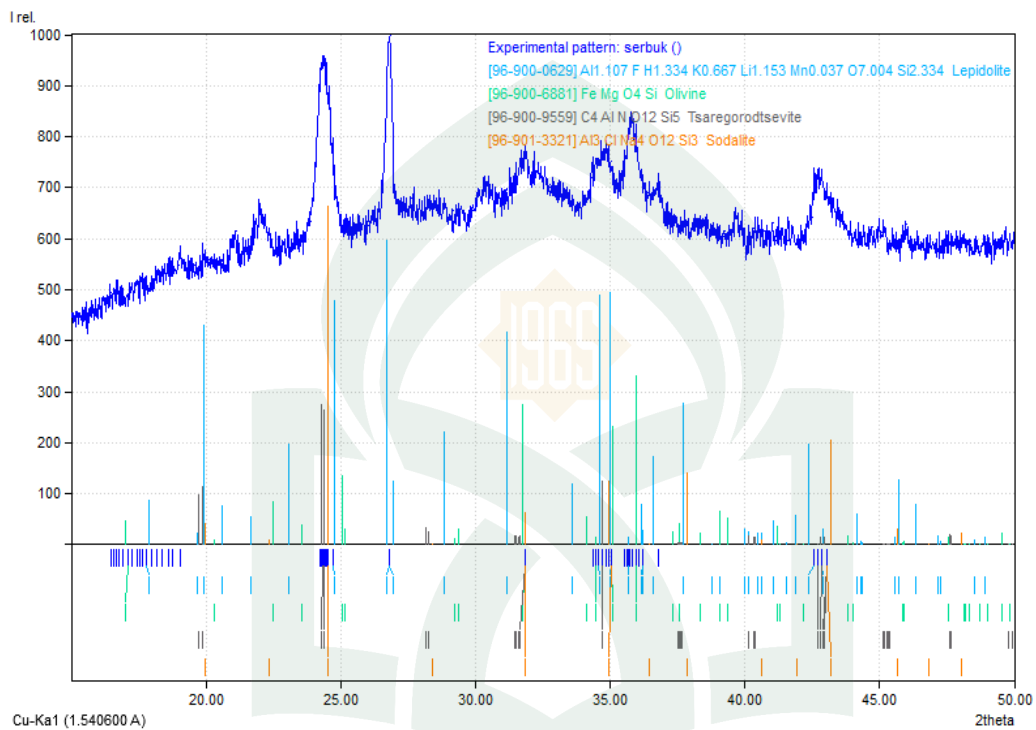
Peak List

No.	2theta [°]	d [Å]	I/I0	FWHM	Matched
1	16.46	5.3812	339.42	0.1000	
2	16.59	5.3380	390.41	0.1000	
3	16.65	5.3197	382.27	0.1000	
4	16.76	5.2843	352.18	0.1000	
5	16.90	5.2429	377.35	0.1000	
6	17.09	5.1832	359.69	0.1000	B
7	17.26	5.1324	395.53	0.1000	
8	17.44	5.0813	433.90	0.1000	
9	17.56	5.0474	396.07	0.1000	
10	17.63	5.0270	443.51	0.1000	
11	17.81	4.9768	379.56	0.1000	A
12	17.97	4.9321	364.21	0.1000	
13	18.15	4.8829	425.83	0.1000	
14	18.39	4.8213	382.23	0.1000	
15	18.59	4.7697	408.02	0.1000	
16	18.77	4.7234	375.39	0.1000	
17	19.06	4.6521	423.42	0.1000	
18	24.21	3.6726	771.76	0.1000	
19	24.27	3.6644	923.56	0.1000	
20	24.31	3.6583	948.04	0.1000	C
21	24.37	3.6501	67.58	0.0010	C
22	24.43	3.6413	901.47	0.1000	
23	24.47	3.6348	855.83	0.1000	
24	24.55	3.6235	710.02	0.1000	D
25	24.71	3.6006	334.54	0.1000	A
26	26.82	3.3211	1000.00	0.1000	A
27	31.83	2.8092	342.18	0.1000	B,C,D
28	34.35	2.6087	328.02	0.1000	
29	34.47	2.6001	401.78	0.1000	A,B
30	34.57	2.5923	415.20	0.1000	A
31	34.73	2.5810	465.06	0.1000	C
32	34.87	2.5711	492.82	0.1000	
33	34.93	2.5667	501.12	0.1000	
34	35.02	2.5599	420.73	0.1000	A,B,D
35	35.53	2.5245	480.32	0.1000	
36	35.63	2.5175	541.73	0.1000	
37	35.68	2.5143	671.61	0.1000	A
38	35.75	2.5098	745.26	0.1000	
39	35.83	2.5039	751.03	0.1000	
40	35.95	2.4961	606.19	0.1000	B
41	36.07	2.4883	428.44	0.1000	
42	36.23	2.4773	335.72	0.1000	A
43	36.79	2.4408	358.74	0.1000	
44	42.58	2.1217	415.15	0.1000	A
45	42.72	2.1148	449.44	0.1000	C
46	42.84	2.1093	458.73	0.1000	A,C
47	43.03	2.1002	344.35	0.1000	C,D

Rietveld Refinement using FullProf

Calculation was not run or did not converge.

Diffraction Pattern Graphics



2. ZS₂ 3M

Match! Phase Analysis Report

Sample: serbuk ()

Sample Data

File name	ZS2#3M.RAW
Data range	15.180° - 50.180°
Number of points	1751
Step size	0.020
Rietveld refinement converged	No
Alpha2 subtracted	No
Background subtr.	No
Data smoothed	No
2theta correction	0.18°
Radiation	X-rays
Wavelength	1.540600 Å

Matched Phases

Index	Amount (%)	Name	Formula sum
A	34.5	Rhonite	Al ₃ Ca _{1.93} Fe _{1.705} Mg _{3.295} Na _{0.07} O ₂₀ Si ₃ Ti
B	27.7	Zeolite-L	Al _{8.664} Cs _{3.66} H _{58.08} K ₅ O _{85.5} Si _{27.336}
C	17.5	Zeolite (K,Ba)-G,L	Al ₁₈ Ba _{6.68} H _{60.144} K _{2.19} O _{111.6} Si ₁₈
D	12.8	Sodalite	Al ₃ Cl Na ₄ O ₁₂ Si ₃
E	7.4	Cyanide Sodalite	C ₂ Al ₆ N ₂ Na ₁₆ O ₂₄ Si ₆

A: Rhonite (34.5 %)

Formula sum	Al ₃ Ca _{1.93} Fe _{1.705} Mg _{3.295} Na _{0.07} O ₂₀ Si ₃ Ti
Entry number	96-900-5038
Figure-of-Merit (FoM)	0.770267
Total number of peaks	496
Peaks in range	233
Peaks matched	101
Intensity scale factor	0.20
Space group	P -1
Crystal system	triclinic (anorthic)
Unit cell	a= 10.4280 Å b= 10.8070 Å c= 8.9250 Å α= 105.910° β= 96.130° γ= 124.800 °
I/I _{cor}	0.33
Calc. density	3.491 g/cm ³
Reference	Bonaccorsi E., Merlino S., Pasero M., "Rhonite: structural and microstructural features, crystal chemistry and polysomatic relationships Locality: volcanic breccias of Scharnhausen", European Journal of Mineralogy 2 , 203-218 (1990)

B: Zeolite-L (27.7 %)

Formula sum	Al _{8.664} Cs _{3.66} H _{58.08} K ₅ O _{85.5} Si _{27.336}
Entry number	96-900-5064
Figure-of-Merit (FoM)	0.000000
Total number of peaks	463
Peaks in range	84
Peaks matched	34
Intensity scale factor	3.34

Space group	P 6/m m m
Crystal system	Hexagonal
Unit cell	a= 18.4110 Å c= 7.5580 Å
I/lcor	6.74
Calc. density	2.326 g/cm ³
Reference	Sato M., Morikawa K., Kurosawa S., "X-ray Rietveld analysis of cation exchanged zeolite-L (LTL) Sample: Cs-L Note: We are unable to reproduce the reported bond lengths to T1 and K1, and we have not been able to locate the authors to find out what is wrong.", <i>European Journal of Mineralogy</i> 2 , 851-859 (1990)

C: Zeolite (K,Ba)-G,L (17.5 %)

Formula sum	Al18 Ba6.68 H60.144 K2.19 O111.6 Si18
Entry number	96-900-8213
Figure-of-Merit (FoM)	0.000000
Total number of peaks	462
Peaks in range	84
Peaks matched	40
Intensity scale factor	1.11
Space group	P 6/m m m
Crystal system	Hexagonal
Unit cell	a= 18.7010 Å c= 7.5010 Å
I/lcor	3.53
Calc. density	2.806 g/cm ³
Reference	Baerlocher C., Barrer R. M., "The structure of the synthetic zeolite (K,Ba)-G,L Locality: synthetic", <i>Zeitschrift fur Kristallographie</i> 136 , 245-254 (1972)

D: Sodalite (12.8 %)

Formula sum	Al3 Cl Na4 O12 Si3
Entry number	96-900-3319
Figure-of-Merit (FoM)	0.759229
Total number of peaks	56
Peaks in range	14
Peaks matched	9
Intensity scale factor	0.78
Space group	P -4 3 n
Crystal system	Cubic
Unit cell	a= 8.8870 Å
I/lcor	3.43
Calc. density	2.293 g/cm ³
Reference	Hassan I., Antao S. M., Parise J. B., "Sodalite: High-temperature structures obtained from synchrotron radiation and Rietveld refinements Sample: T = 28 C", <i>American Mineralogist</i> 89 , 359-364 (2004)

E: Cyanide Sodalite (7.4 %)

Formula sum	C2 Al6 N2 Na16 O24 Si6
Entry number	96-810-0405
Figure-of-Merit (FoM)	0.746698
Total number of peaks	56
Peaks in range	14
Peaks matched	8
Intensity scale factor	0.38
Space group	P -4 3 n
Crystal system	Cubic
Unit cell	a= 8.9192 Å
I/lcor	2.86

Calc. density
Reference

2.228 g/cm³
Gesing Thorsten M., Buhl J.-Christian, "Sodium alumosilicate sodalite, Na₈[AlSiO₄]₆(CN)₂", Zeitschrift für Kristallographie - NCS, (2003)

Candidates

Name	Formula	Entry No.	FoM
	Al _{2.7} Fe Si _{2.3}	96-201-0456	0.6858
	Al Na O ₄ Si	96-210-0989	0.7436
	Al ₂ N _{18.939} O _{2.061} Si ₉ Y _{6.313}	96-720-5917	0.7458
	Al ₂₃ Co _{10.14} Si _{8.72}	96-810-2939	0.7927
	Al _{43.14} Co _{18.86} Si _{11.86}	96-810-2940	0.8265
	Al _{42.52} Co _{19.49} Si _{12.49}	96-810-2944	0.8179
	Al ₃ H ₃ O ₁₀ Si ₂	96-900-5289	0.7896
Ag_zeolite_A	Ag _{71.89} Al ₉₆ O _{466.81} Si ₉₆	96-710-8283	0.0000
Ag_zeolite_A	Ag _{71.14} Al ₉₆ O _{464.45} Si ₉₆	96-710-8285	0.0000
Ag_zeolite_A	Ag _{69.76} Al ₉₆ O _{471.42} Si ₉₆	96-710-8286	0.0000
Ag_zeolite_A	Ag _{69.45} Al ₉₆ O _{473.69} Si ₉₆	96-710-8287	0.0000
Ag_zeolite_A	Ag _{68.05} Al ₉₆ O _{476.24} Si ₉₆	96-710-8288	0.0000
Ag_zeolite_A	Ag _{67.94} Al ₉₆ O _{477.46} Si ₉₆	96-710-8289	0.0000
Ag_zeolite_A	Ag _{67.63} Al ₉₆ O _{474.72} Si ₉₆	96-710-8290	0.0000
Ag_zeolite_A	Ag _{68.26} Al ₉₆ O _{476.17} Si ₉₆	96-710-8291	0.0000
Ag_zeolite_A	Ag _{67.88} Al ₉₆ O _{474.92} Si ₉₆	96-710-8292	0.0000
Ag_zeolite_A	Ag _{68.03} Al ₉₆ O _{472.88} Si ₉₆	96-710-8293	0.0000
Ag_zeolite_A?	Ag _{71.568} Al ₉₆ O _{469.91} Si ₉₆	96-710-8284	0.0000
Albite	Al Ge ₂ Na O ₈ Si	96-900-5079	0.7156
Almandine	Al ₂ Ca _{0.12} Fe _{2.58} Mg _{0.27} O ₁₂ Si ₃	96-900-0234	0.7174
Almandine	Al ₂ Fe ₃ O ₁₂ Si ₃	96-900-1427	0.6971
Almandine	Al ₂ Fe _{2.4} Mg _{0.6} O ₁₂ Si ₃	96-900-1431	0.6937
Almandine	Al ₂ Fe ₃ O ₁₂ Si ₃	96-900-1432	0.7079
Almandine	Al ₂ Fe ₃ O ₁₂ Si ₃	96-900-6108	0.6973
Almandine	Al ₂ Fe ₃ O ₁₂ Si ₃	96-900-6109	0.7078
Almandine	Al ₂ Fe ₃ O ₁₂ Si ₃	96-900-6110	0.7079
Almandine	Al ₂ Fe ₃ O ₁₂ Si ₃	96-900-6111	0.7169
Almandine	Al ₂ Fe ₃ O ₁₂ Si ₃	96-900-6112	0.7326
Almandine	Al ₂ Ca _{0.51} Fe _{1.431} Mg _{1.02} Mn _{0.039} O ₁₂ Si ₃	96-900-6321	0.7062
Almandine	Al _{1.99} Ca _{0.51} Fe _{1.56} Mg _{0.921} Mn _{0.039} O ₁₂ Si ₃ Ti _{0.01}	96-900-6322	0.7021
Analcime	Al _{1.806} H ₄ Na _{1.71} O ₁₄ Si _{4.194}	96-900-4015	0.7990
Bicchulite	Al ₂ Ca ₂ H ₂ O ₈ Si	96-900-8268	0.7643
Bicchulite	Al ₂ Ca ₂ H ₂ O ₈ Si	96-900-8293	0.7637
Chromite	Al _{0.546} Cr _{1.422} Fe _{0.562} Mg _{0.457} Ni _{0.002} O ₄ Si _{0.002} Ti _{0.004} Zn _{0.007}	96-900-4950	0.7067
Clinozoisite	Al ₃ Ca ₂ H O ₁₃ Si ₃	96-900-0181	0.7757
Clinozoisite	Al _{2.79} Ca ₂ Fe _{0.21} H O ₁₃ Si ₃	96-900-1800	0.7693
Clinozoisite	Al _{2.79} Ca ₂ Fe _{0.21} O ₁₃ Si ₃	96-900-1801	0.7742
Clinozoisite	Al ₃ Ca _{1.843} H O ₁₃ Si ₃ Sr _{0.157}	96-901-0278	0.7787
Clinozoisite	Al ₃ Ca _{1.7} H O ₁₃ Si ₃ Sr _{0.3}	96-901-0279	0.7791
Clinozoisite	Al ₃ Ca _{1.518} H O ₁₃ Si ₃ Sr _{0.482}	96-901-0280	0.7889
Clinozoisite	Al ₃ Ca _{1.504} H O ₁₃ Si ₃ Sr _{0.496}	96-901-0281	0.7734
Clinozoisite	Al ₃ Ca _{1.504} H O ₁₃ Si ₃ Sr _{0.496}	96-901-0282	0.7677
Clinozoisite	Al _{2.51} Ca ₂ Cr _{0.49} O ₁₃ Si ₃	96-901-3685	0.7810
Clinozoisite	Al _{2.72} Ca ₂ Cr _{0.28} O ₁₃ Si ₃	96-901-3686	0.7780
Cyanide Sodalite	C ₂ Al ₆ N ₂ Na ₁₆ O ₂₄ Si ₆	96-810-0405	0.0000
Dehydrated Ca-A zeolite	Al ₉₆ Ca ₄₈ O ₃₈₄ Si ₉₆	96-210-2128	0.0000
Dehydrated Ca-A zeolite	Al ₉₆ Ca ₄₈ O ₃₈₄ Si ₉₆	96-210-2129	0.0000

Dehydrated Ca-A zeolite	Al96 Ca48 O384 Si96	96-210-2130 0.0000
Dehydrated Ca-A zeolite	Al96 Ca48 O384 Si96	96-210-2131 0.0000
Diopside	Al0.19 Ca0.88 K0.12 Mg0.83 O6 Si1.98	96-900-4028 0.7382
Diopside	Al0.19 Ca0.88 K0.12 Mg0.83 O6 Si1.98	96-900-4029 0.7545
Epidote	Al2.6 Ca2 Fe0.4 H O13 Si3	96-900-0301 0.7866

and 90 others...

Search-Match

Settings

Reference database used	COD-Inorg REV81284 2013.04.15
Automatic zeropoint adaptation	Yes
Minimum figure-of-merit (FoM)	0.60
Parameter/influence 2theta	0.50
Parameter/influence intensities	0.50
Parameter multiple/single phase(s)	0.50

Selection Criteria

Elements:

Elements that must be present:	Al, Si
Elements that may be present:	All elements not mentioned above

Criteria for entries added by user

Reference:

Entry number:	96-210-2128;96-210-2129;96-210-2130;96-210-2131;96-400-1091;96-410-8799;96-411-0503;96-411-2883;96-411-8509;96-710-8283;96-710-8284;96-710-8285;96-710-8286;96-710-8287;96-710-8288;96-710-8289;96-710-8290;96-710-8291;96-710-8292;96-710-8293;96-810-1550;96-900-5061;96-900-5062;96-900-5063;96-900-5064;96-900-8159;96-900-8213;96-100-0029;96-101-1140;96-101-1186;96-200-9594;96-200-9595;96-810-0405;96-900-3319;96-900-3320;96-900-3321;96-900-3322;96-900-3323;96-900-3324;96-900-3325;96-900-3326;96-900-3327;96-900-3328;96-900-3329;96-900-3330;96-900-3331;96-900-3332;96-900-4169;96-900-5051;96-900-5052;96-900-5053;96-900-5054;96-900-5742;96-901-3321
----------------------	---

Peak List

No.	2theta [°]	d [Å]	I/I0	FWHM	Matched
1	16.95	5.2252	218.65	0.1000	
2	17.00	5.2112	211.30	0.1000	
3	18.80	4.7161	211.32	0.1000	A,B,C
4	21.42	4.1454	204.57	0.1000	
5	22.21	3.9986	195.51	0.1000	E
6	22.34	3.9764	244.79	0.1000	B,D
7	22.44	3.9590	247.41	0.1000	C
8	22.50	3.9488	250.04	0.1000	

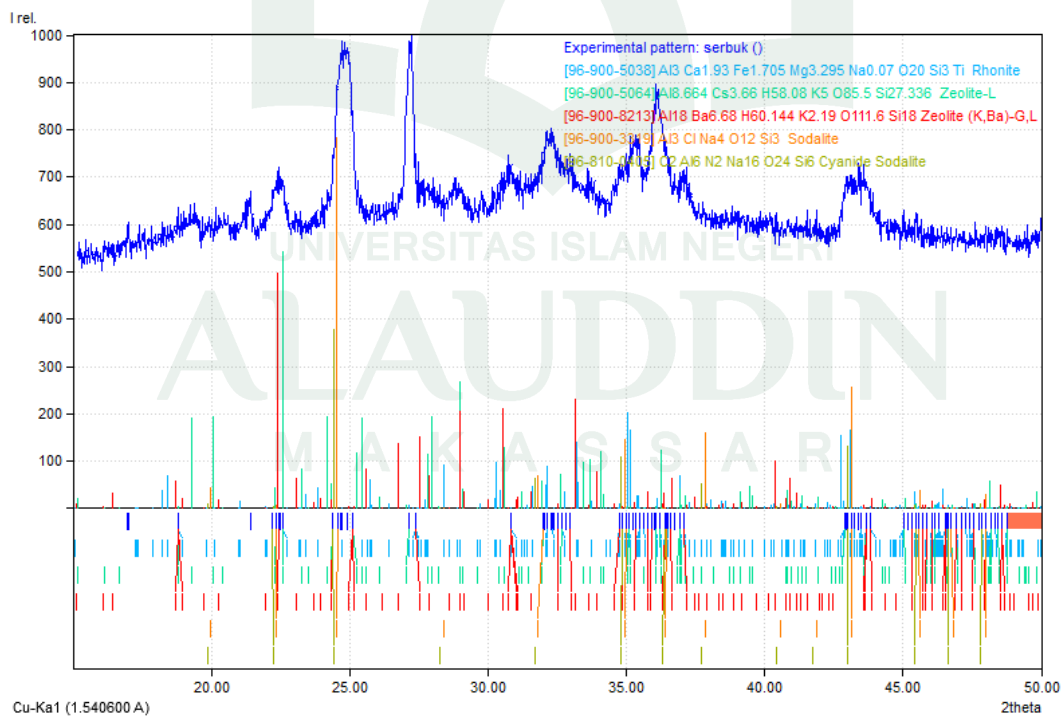
9	22.60	3.9315	239.27	0.1000	A,B
10	24.38	3.6473	343.83	0.1000	B,C,E
11	24.56	3.6220	770.96	0.1000	D
12	24.66	3.6066	906.48	0.1000	
13	24.73	3.5969	1000.00	0.1000	
14	24.92	3.5703	971.41	0.1000	
15	25.11	3.5430	539.49	0.1000	B,C
16	27.16	3.2804	922.03	0.1000	A,B
17	27.38	3.2552	266.10	0.1000	A,C
18	30.85	2.8960	194.54	0.1000	A,C
19	31.97	2.7973	259.05	0.1000	B,D
20	32.04	2.7908	278.57	0.1000	
21	32.14	2.7831	380.23	0.1000	A
22	32.26	2.7727	361.75	0.1000	
23	32.34	2.7663	352.08	0.1000	A
24	32.40	2.7611	332.71	0.1000	
25	32.54	2.7499	250.08	0.1000	C
26	32.68	2.7383	204.15	0.1000	A,B
27	32.83	2.7261	226.93	0.1000	
28	32.95	2.7158	242.85	0.1000	C
29	34.74	2.5805	227.08	0.1000	A,C
30	34.84	2.5730	215.65	0.1000	C,E
31	34.99	2.5621	287.22	0.1000	A,B,D
32	35.11	2.5542	275.90	0.1000	A,B
33	35.25	2.5440	397.60	0.1000	
34	35.33	2.5382	435.75	0.1000	C
35	35.50	2.5270	288.00	0.1000	A
36	35.63	2.5181	207.02	0.1000	A
37	35.76	2.5089	262.43	0.1000	B,C
38	35.90	2.4994	390.88	0.1000	C
39	36.00	2.4927	573.86	0.1000	
40	36.08	2.4874	697.98	0.1000	A,B
41	36.22	2.4784	576.79	0.1000	A,B
42	36.38	2.4677	396.70	0.1000	C,E
43	36.43	2.4641	424.82	0.1000	A,D
44	36.49	2.4601	320.40	0.1000	A
45	36.62	2.4522	202.49	0.1000	C
46	36.74	2.4442	215.85	0.1000	
47	36.94	2.4313	208.67	0.1000	A,B
48	37.06	2.4236	266.86	0.1000	A,B,C
49	42.88	2.1074	247.04	0.1000	A,B
50	42.95	2.1043	317.31	0.1000	
51	43.00	2.1017	301.81	0.1000	E
52	43.13	2.0956	320.11	0.1000	A,D
53	43.24	2.0905	301.37	0.1000	A
54	43.38	2.0843	357.79	0.1000	
55	43.49	2.0793	306.65	0.1000	A
56	43.66	2.0714	298.48	0.1000	A,B,C
57	43.82	2.0645	215.02	0.1000	A,C
58	45.02	2.0121	245.22	0.1000	A,B
59	45.18	2.0053	191.11	0.1000	
60	45.32	1.9993	211.33	0.1000	C
61	45.46	1.9935	306.08	0.1000	A,B,E
62	45.59	1.9884	253.58	0.1000	A,D
63	45.72	1.9829	221.36	0.1000	C
64	45.88	1.9764	292.25	0.1000	B,C
65	46.03	1.9701	327.58	0.1000	A,B,C
66	46.15	1.9653	300.37	0.1000	A,B

67	46.30	1.9593	342.03	0.1000	A
68	46.51	1.9510	366.82	0.1000	A,B,C
69	46.58	1.9483	379.54	0.1000	A
70	46.62	1.9465	366.91	0.1000	A,B,E
71	46.74	1.9421	380.44	0.1000	B,D
72	46.94	1.9343	401.27	0.1000	A,B,C
73	47.12	1.9271	388.44	0.1000	A,B,C
74	47.28	1.9208	366.04	0.1000	A
75	47.40	1.9164	386.76	0.1000	A
76	47.56	1.9104	374.47	0.1000	A,B,C
77	47.72	1.9041	370.00	0.1000	
78	47.83	1.9002	381.71	0.1000	A,E
79	47.98	1.8944	385.69	0.1000	A,C,D
80	48.18	1.8874	336.80	0.1000	A,B
81	48.34	1.8813	288.91	0.1000	A
82	48.45	1.8775	307.40	0.1000	B
83	48.57	1.8731	264.96	0.1000	A,C
84	48.76	1.8660	193.06	0.1000	A,B

Rietveld Refinement using FullProf

Calculation was not run or did not converge.

Diffraction Pattern Graphics



Match! Copyright © 2003-2013 CRYSTAL IMPACT, Bonn, Germany

3. ZS3 4M

Match! Phase Analysis Report

Sample: serbuk ()

Sample Data

File name	ZS3#4M.RAW
Data range	15.000° - 50.000°
Number of points	1751
Step size	0.020
Rietveld refinement converged	No
Alpha2 subtracted	No
Background subtr.	No
Data smoothed	Yes
Radiation	X-rays
Wavelength	1.540600 Å

Matched Phases

Index	Amount (%)	Name	Formula sum
A	30.9	Rhonite	Al ₂ Ca Mg ₂ O ₁₀ Si Ti
B	4.0	Sodalite	C _{0.15} Al ₃ Ca _{0.616} Cl _{0.47} K _{0.7} Na _{2.64} O _{13.986} S _{0.384} Si ₃
C	7.3	Bicchulite	Al ₂ Ca ₂ H ₂ O ₈ Si
D	15.2	Zeolite (K,Ba)-G,L	Al ₁₈ Ba _{6.68} H _{60.144} K _{2.19} O _{111.6} Si ₁₈
E	42.6	Analcime	Al _{1.806} H ₄ Na _{1.71} O ₁₄ Si _{4.194}

A: Rhonite (30.9 %)

Formula sum	Al ₂ Ca Mg ₂ O ₁₀ Si Ti
Entry number	96-900-5039
Figure-of-Merit (FoM)	0.728600
Total number of peaks	500
Peaks in range	478
Peaks matched	72
Intensity scale factor	0.17
Space group	P -1
Crystal system	triclinic (anorthic)
Unit cell	a= 10.3670 Å b= 10.7560 Å c= 8.8950 Å α= 105.980° β= 96.040° γ= 124.720 °
I/Icor	0.28
Calc. density	3.399 g/cm ³
Reference	Bonaccorsi E., Merlino S., Pasero M., "Rhonite: structural and microstructural features, crystal chemistry and polysomatic relationships Locality: the Allende meteorite", European Journal of Mineralogy 2 , 203-218 (1990)

B: Sodalite (4.0 %)

Formula sum	C _{0.15} Al ₃ Ca _{0.616} Cl _{0.47} K _{0.7} Na _{2.64} O _{13.986} S _{0.384} Si ₃
Entry number	96-900-5742
Figure-of-Merit (FoM)	0.671221
Total number of peaks	57
Peaks in range	55
Peaks matched	7
Intensity scale factor	0.24

Space group	P -4 3 n
Crystal system	Cubic
Unit cell	a= 9.0352 Å
I/lcor	3.16
Calc. density	2.398 g/cm ³
Reference	Ballirano P., Maras A., "Crystal chemical and structural characterization of an unusual CO ₃ -bearing sodalite-group mineral Locality: Mt. Vesuvio, Italy", European Journal of Mineralogy 17 , 805-812 (2005)

C: Bicchulite (7.3 %)

Formula sum	Al ₂ Ca ₂ H ₂ O ₈ Si
Entry number	96-900-8268
Figure-of-Merit (FoM)	0.731197
Total number of peaks	36
Peaks in range	34
Peaks matched	4
Intensity scale factor	0.28
Space group	I -4 3 m
Crystal system	Cubic
Unit cell	a= 8.8250 Å
I/lcor	1.98
Calc. density	2.822 g/cm ³
Reference	Sahl K., Chatterjee N. D., "The crystal structure of bicchulite, Ca ₂ [Al ₂ SiO ₆](OH) ₂ Locality: synthetic", Zeitschrift für Kristallographie 146 , 35-41 (1977)

D: Zeolite (K,Ba)-G,L (15.2 %)

Formula sum	Al ₁₈ Ba _{6.68} H _{60.144} K _{2.19} O _{111.6} Si ₁₈
Entry number	96-900-8213
Figure-of-Merit (FoM)	0.000000
Total number of peaks	462
Peaks in range	449
Peaks matched	34
Intensity scale factor	1.04
Space group	P 6/m m m
Crystal system	Hexagonal
Unit cell	a= 18.7010 Å c= 7.5010 Å
I/lcor	3.53
Calc. density	2.806 g/cm ³
Reference	Baerlocher C., Barrer R. M., "The structure of the synthetic zeolite (K,Ba)-G,L Locality: synthetic", Zeitschrift für Kristallographie 136 , 245-254 (1972)

E: Analcime (42.6 %)

Formula sum	Al _{1.806} H ₄ Na _{1.71} O ₁₄ Si _{4.194}
Entry number	96-900-4014
Figure-of-Merit (FoM)	0.766973
Total number of peaks	499
Peaks in range	426
Peaks matched	195
Intensity scale factor	0.51
Space group	P -1
Crystal system	triclinic (anorthic)
Unit cell	a= 13.4464 Å b= 13.3657 Å c= 13.3449 Å α= 89.691° β= 88.152° γ= 90.034°
I/lcor	0.62

Calc. density
Reference

2.403 g/cm³

Gatta G. D., Nestola F., Ballaran T. B., "Elastic behavior, phase transition, and pressure induced structural evolution of analcime Locality: Su Marralzu, Sardinia, Italy Sample: P = 2.12 GPa", American Mineralogist **91**, 568-578 (2006)

Candidates

Name	Formula	Entry No.	FoM
Tsaregorodtsevite	C4 Al N O12 Si5	96-900-9559	0.7536
Lazurite	Al8.75 Ca2 Cl0.18 K0.17 Na9.77 O44.32 S2.88 Si9.25	96-901-1782	0.7095
Nanpingite	Al2.34 Cs0.88 F0.2 Fe0.16 H1.8 K0.06 Li0.14 Mg0.2 O11.8 Rb0.01 Si3.16	96-900-1719	0.7083
Clinozoisite	Al2.79 Ca2 Fe0.21 O13 Si3	96-900-1803	0.7064
Jadeite	Al Na O6 Si2	96-901-0379	0.6881
Vesuvianite	Al5 Ca9.88 Fe H4 Mg O39 Si9	96-900-2337	0.6824
Decacalcium magnesium iron tetraaluminium pentakis(silicate) bis(disilicate) tetrahydroxide (Vesuvianite)	Al4 Ca10 Fe H4 Mg O38 Si9	96-101-1222	0.6813
Rhonite	Al3 Ca1.93 Fe1.705 Mg3.295 Na0.07 O20 Si3 Ti	96-900-5038	0.6779
Barytolamprophyllite	Al0.03 Ba0.88 Ca0.13 Fe0.35 K0.61 Mg0.05 Mn0.28 Na2.09 Nb0.01 O18 Si4 Sr0.33 Ti2.91	96-901-0663	0.6722
Jadeite	Al Na O6 Si2	96-901-0382	0.6721
Vesuvianite	Al4.92 Ca10 Fe1.24 H4 Mg0.68 O39 Si9 Ti0.16	96-900-4084	0.6711
Jadeite	Al Na O6 Si2	96-901-0473	0.6695
Jadeite	Al Na O6 Si2	96-901-0380	0.6684
Sapphirine	Al8.05 Fe1.05 Mg3.15 O20 Si1.75	96-901-1431	0.6680
Petalite	Al Li O10 Si4	96-900-8305	0.6658
Vesuvianite	Al5.67 Ca10 Fe0.63 H4 Mg0.56 O39 Si9 Ti0.14	96-900-4257	0.6658
Jadeite	Al Na O6 Si2	96-901-0381	0.6640
Vesuvianite	Al6 Ca10 F1.88 Fe0.88 H2.12 Mg0.8 Mn0.16 O38.12 Si9 Ti0.16	96-900-4260	0.6623
Vesuvianite	Al5.84 Ca9.9 Cl0.08 F1.12 Fe0.72 H2.8 Mg0.8 Na0.1 O38.8 Si9 Ti0.64	96-900-4258	0.6561
Vesuvianite	Al6 Ca10 F1.64 Fe1.04 H2.36 Mg0.72 Mn0.08 O38.36 Si9 Ti0.16	96-900-4259	0.6472
Pigeonite	Al0.02 Ca0.121 Fe1.008 Mg0.871 O6 Si1.98	96-901-3716	0.6434
Pigeonite	Al0.02 Ca0.121 Fe1.008 Mg0.871 O6 Si1.98	96-901-3717	0.6299
Lepidolite	Al1.107 F H1.334 K0.667 Li1.153	96-900-	0.6274

	Mn0.037 O7.004 Si2.334	0629	
Bikitaite	Al H2 Li O7 Si2	96-900-2823	0.6231
Garnet	Al2 Ca0.75 Fe1.89 Mg0.24 Mn0.09 O12 Si3	96-900-1410	0.6212
Bikitaite	Al H2 Li O7 Si2	96-900-5578	0.6208
Microsommite	Al3 Ca Cl1.12 K0.99 Na2.01 O13.76 S0.44 Si3	96-900-6344	0.6168
Dehydrated Ca-A zeolite	Al96 Ca48 O384 Si96	96-210-2128	0.0000
Dehydrated Ca-A zeolite	Al96 Ca48 O384 Si96	96-210-2129	0.0000
Dehydrated Ca-A zeolite	Al96 Ca48 O384 Si96	96-210-2130	0.0000
Dehydrated Ca-A zeolite	Al96 Ca48 O384 Si96	96-210-2131	0.0000
Zeolite STF- template removed using SQUEEZE	F O32 Si16	96-400-1091	0.0000
Zeolite ITQ-34	Ge0.09 O2 Si0.91	96-410-8799	0.0000
Zeolite ITQ-24	O2 Si	96-411-0503	0.0000
zeolite ITQ-12	O48 Si24	96-411-2883	0.0000
Zeolite ITQ-49	Ge0.1755 O2 Si0.8245	96-411-8509	0.0000
Ag_zeolite_A	Ag71.89 Al96 O466.81 Si96	96-710-8283	0.0000
Ag_zeolite_A?	Ag71.568 Al96 O469.91 Si96	96-710-8284	0.0000
Ag_zeolite_A	Ag71.14 Al96 O464.45 Si96	96-710-8285	0.0000
Ag_zeolite_A	Ag69.76 Al96 O471.42 Si96	96-710-8286	0.0000
Ag_zeolite_A	Ag69.45 Al96 O473.69 Si96	96-710-8287	0.0000
Ag_zeolite_A	Ag68.05 Al96 O476.24 Si96	96-710-8288	0.0000
Ag_zeolite_A	Ag67.94 Al96 O477.46 Si96	96-710-8289	0.0000
Ag_zeolite_A	Ag67.63 Al96 O474.72 Si96	96-710-8290	0.0000
Ag_zeolite_A	Ag68.26 Al96 O476.17 Si96	96-710-8291	0.0000
Ag_zeolite_A	Ag67.88 Al96 O474.92 Si96	96-710-8292	0.0000
Ag_zeolite_A	Ag68.03 Al96 O472.88 Si96	96-710-8293	0.0000
Zeolite A(BW)	As4 H8 Li4 O20 Zn4	96-810-1550	0.0000
Zeolite-L	Al10.62 H72 K4.63 Na6 O91.32 Si25.38	96-900-5061	0.0000
Zeolite-L	Al6.12 H108 K4.64 O89.94 Si29.88 Sr1.46	96-900-5062	0.0000
Zeolite-L	Al6 Ba1.14 H108 K4.86 O96.36 Si30	96-900-5063	0.0000
Zeolite-L	Al8.664 Cs3.66 H58.08 K5 O85.5	96-900-	0.0000

and 4 others...

Si27.336

5064

Search-Match

Settings

Reference database used COD-Inorg REV81284 2013.04.15
 Automatic zeropoint adaptation Yes
 Minimum figure-of-merit (FoM) 0.60
 Parameter/influence 2theta 0.50
 Parameter/influence intensities 0.50
 Parameter multiple/single phase(s) 0.50

Criteria for entries added by user

Reference:

Entry number:

96-210-2128;96-210-2129;96-210-2130;96-210-2131;96-400-1091;96-410-8799;96-411-0503;96-411-2883;96-411-8509;96-710-8283;96-710-8284;96-710-8285;96-710-8286;96-710-8287;96-710-8288;96-710-8289;96-710-8290;96-710-8291;96-710-8292;96-710-8293;96-810-1550;96-900-5061;96-900-5062;96-900-5063;96-900-5064;96-900-8159;96-900-8213

Peak List

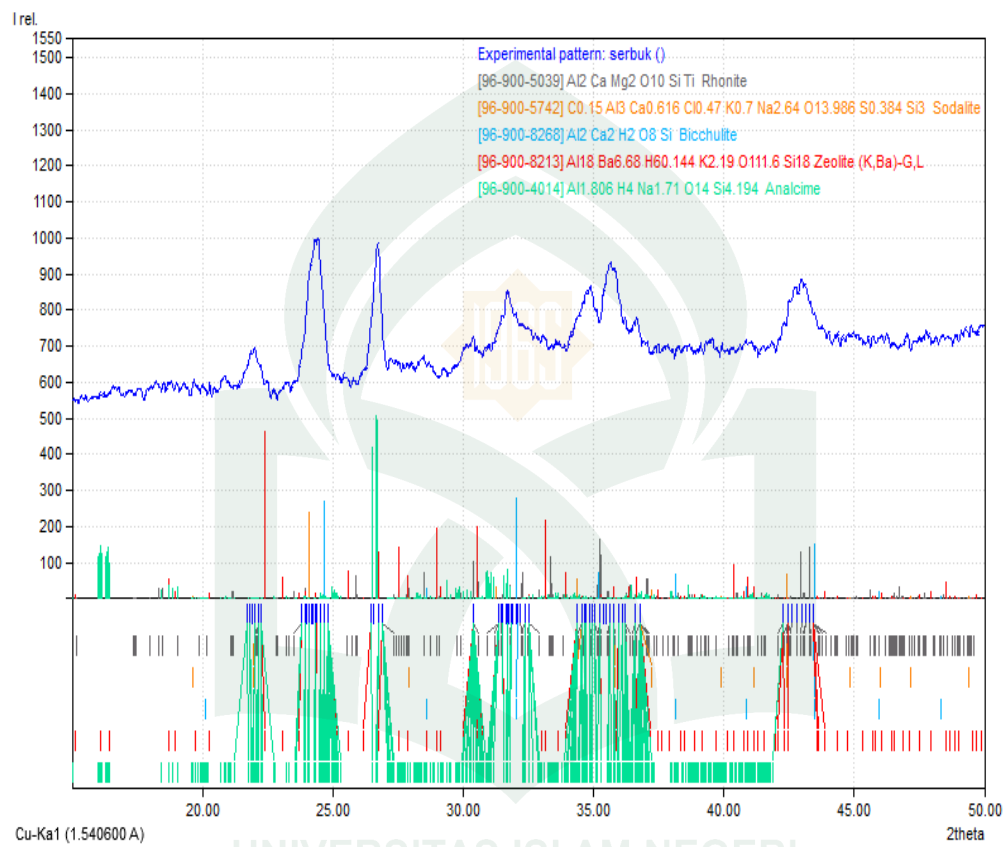
No.	2theta [°]	d [Å]	I/I0	FWHM	Matched
1	21.69	4.0940	342.67	0.3000	E
2	21.83	4.0672	37.86	0.0878	E
3	21.90	4.0556	0.00	0.0107	
4	21.99	4.0392	508.57	0.2902	A,B,E
5	22.14	4.0120	7.49	0.0615	A,E
6	22.24	3.9942	155.66	0.1802	D,E
7	23.81	3.7347	202.00	0.1757	A,D,E
8	23.92	3.7169	100.81	0.0951	A,D,E
9	24.01	3.7036	263.18	0.1068	
10	24.11	3.6887	225.30	0.0806	B,E
11	24.17	3.6787	36.38	0.0371	
12	24.25	3.6680	0.00	0.0977	
13	24.32	3.6567	1550.85	0.3000	E
14	24.38	3.6475	1348.56	0.3000	D
15	24.54	3.6248	177.18	0.1670	E
16	24.65	3.6081	278.04	0.1920	C,E
17	24.83	3.5831	2.79	0.0558	D,E
18	26.45	3.3673	29.61	0.1195	A,D,E
19	26.58	3.3506	954.46	0.2954	
20	26.74	3.3308	924.99	0.2010	E
21	26.92	3.3094	245.39	0.3000	A,D,E
22	30.38	2.9398	791.88	0.3000	A,D,E
23	31.36	2.8499	705.31	0.3000	A,B,D,E
24	31.46	2.8417	6.42	0.0268	A
25	31.51	2.8371	285.78	0.0010	A,D,E
26	31.63	2.8262	0.00	0.0577	
27	31.69	2.8211	1080.70	0.3000	E

28	31.75	2.8163	0.00	0.0794	
29	31.84	2.8085	9.74	0.0969	A,E
30	31.90	2.8030	583.46	0.2981	
31	32.02	2.7933	59.77	0.0590	
32	32.07	2.7888	54.83	0.0461	C
33	32.18	2.7792	293.70	0.1350	A
34	32.35	2.7648	151.13	0.0959	A,E
35	32.50	2.7527	275.85	0.1704	A,D,E
36	34.34	2.6090	710.39	0.3000	D,E
37	34.57	2.5928	36.81	0.0618	A,B,D,E
38	34.66	2.5860	437.33	0.2719	E
39	34.72	2.5815	192.30	0.1374	E
40	34.86	2.5715	232.74	0.1268	A,D,E
41	34.95	2.5649	222.66	0.1468	E
42	35.04	2.5587	159.50	0.2058	A,E
43	35.26	2.5433	464.33	0.3000	A,C,D,E
44	35.40	2.5337	0.00	0.0180	
45	35.48	2.5278	793.87	0.2838	
46	35.64	2.5170	176.63	0.1043	A,E
47	35.76	2.5087	635.96	0.2224	A,B,D,E
48	35.97	2.4948	609.97	0.2913	D,E
49	36.12	2.4849	1.62	0.0211	E
50	36.23	2.4773	156.05	0.1352	A,D,E
51	36.58	2.4546	372.44	0.3000	A,D,E
52	36.78	2.4415	182.18	0.3000	A,B,D,E
53	42.29	2.1356	283.29	0.3000	A,D,E
54	42.48	2.1261	67.56	0.0783	A,B,D
55	42.61	2.1203	426.52	0.2756	A
56	42.82	2.1104	670.35	0.3000	A
57	42.98	2.1027	157.88	0.1125	A
58	43.13	2.0959	469.50	0.2094	A
59	43.30	2.0880	31.00	0.0642	A
60	43.44	2.0815	645.98	0.3000	A,C,D

Rietveld Refinement using FullProf

Calculation was not run or did not converge.

Diffraction Pattern Graphics



4. ZS4 5M

Match! Phase Analysis Report

Sample: serbuk ()

Sample Data

File name	UIN#04.RAW
Data range	15.200° - 50.200°
Number of points	1751
Step size	0.020
Rietveld refinement converged	No
Alpha2 subtracted	No
Background subtr.	No
Data smoothed	No
2theta correction	0.2°
Radiation	X-rays
Wavelength	1.540600 Å

Matched Phases

Index	Amount (%)	Name	Formula sum
A	30.1	Zeolite ITQ-34	Ge0.09 O2 Si0.91
B	23.7	Aluminium oxide Corundum	Al2 O3
C	22.6	Zeolite (K,Ba)-G,L	Al18 Ba6.68 H60.144 K2.19 O111.6 Si18
D	15.9	Eucryptite	Al Li O4 Si
E	7.7	Sodalite	Ca0.15 Al3 Ca0.616 Cl0.47 K0.7 Na2.64 O13.986 S0.384 Si3

A: Zeolite ITQ-34 (30.1 %)

Formula sum	Ge0.09 O2 Si0.91
Entry number	96-410-8799
Figure-of-Merit (FoM)	0.000000
Total number of peaks	296
Peaks in range	270
Peaks matched	216
Intensity scale factor	0.43
Space group	C m c m
Crystal system	Orthorhombic
Unit cell	a= 11.5086 Å b= 22.1730 Å c= 25.2558 Å
I/lcor	2.24
Meas. Density	1.860 g/cm ³
Calc. density	1.856 g/cm ³
Color	White
Reference	Avelino Corma, Maria J. Diaz-Cabanas, Jose L. Jorda, Fernando Rey, German Sastre, Karl G. Strohmaier, "A Zeolitic Structure (ITQ-34) with Connected 9- and 10-Ring Channels Obtained with Phosphonium Cations as Structure Directing Agents", Journal of the American Chemical Society 130 , 16482-16483 (2008)

B: Aluminium oxide Corundum (23.7 %)

Formula sum	Al2 O3
Entry number	96-100-0018
Figure-of-Merit (FoM)	0.637156

Total number of peaks	30
Peaks in range	6
Peaks matched	6
Intensity scale factor	0.25
Space group	R -3 c
Crystal system	trigonal (hexagonal axes)
Unit cell	a= 4.7606 Å c= 12.9940 Å
I/lcor	1.00
Calc. density	3.983 g/cm ³
Reference	Tsirelson V G, Antipin M Y, Gerr R G, Ozerov R P, Struchkov Y T, "Ruby structure peculiarities derived from X-ray data. Localization of chromium atoms and electron deformation density", Physica Status Solidi, Sectio A: Applied Research 87 , 425-433 (1985)

C: Zeolite (K,Ba)-G,L (22.6 %)

Formula sum	Al18 Ba6.68 H60.144 K2.19 O111.6 Si18
Entry number	96-900-8213
Figure-of-Merit (FoM)	0.727526
Total number of peaks	462
Peaks in range	81
Peaks matched	73
Intensity scale factor	0.84
Space group	P 6/m m m
Crystal system	Hexagonal
Unit cell	a= 18.7010 Å c= 7.5010 Å
I/lcor	3.53
Calc. density	2.806 g/cm ³
Reference	Baerlocher C., Barrer R. M., "The structure of the synthetic zeolite (K,Ba)-G,L Locality: synthetic", Zeitschrift fur Kristallographie 136 , 245-254 (1972)

D: Eucryptite (15.9 %)

Formula sum	Al Li O4 Si
Entry number	96-900-0370
Figure-of-Merit (FoM)	0.765648
Total number of peaks	254
Peaks in range	44
Peaks matched	32
Intensity scale factor	0.82
Space group	P 64 2 2
Crystal system	Hexagonal
Unit cell	a= 10.5000 Å c= 11.1940 Å
I/lcor	4.88
Calc. density	2.349 g/cm ³
Reference	Pillars W. W., Peacor D. R., "The crystal structure of beta eucryptite as a function of temperature T = 335 C", American Mineralogist 58 , 681-690 (1973)

E: Sodalite (7.7 %)

Formula sum	CO.15 Al3 Ca0.616 Cl0.47 K0.7 Na2.64 O13.986 S0.384 Si3
Entry number	96-900-5742
Figure-of-Merit (FoM)	0.623267
Total number of peaks	57
Peaks in range	14
Peaks matched	12
Intensity scale factor	0.26

Space group	P -4 3 n
Crystal system	Cubic
Unit cell	a= 9.0352 Å
I/lcor	3.16
Calc. density	2.398 g/cm ³
Reference	Ballirano P., Maras A., "Crystal chemical and structural characterization of an unusual CO ₃ -bearing sodalite-group mineral Locality: Mt. Vesuvio, Italy", European Journal of Mineralogy 17 , 805-812 (2005)

Candidates

Name	Formula	Entry No.	FoM	
Selenium	Se	96-901-31340.8578		
	C W	96-150-15950.8483		
	C W	96-150-15870.8474		
	C W	96-150-15880.8455		
	C W	96-150-15270.8447		
	C W	96-150-15260.8445		
	C W	96-150-15410.8444		
	C W	96-150-15340.8441		
	C W	96-150-15800.8435		
	C W	96-150-15420.8409		
	C W	96-150-15730.8389		
	Hydrogen	H	96-901-29130.8340	
		C W	96-150-15400.8336	
		C W	96-150-15710.8336	
		C W	96-150-15920.8334	
C W		96-150-15780.8328		
C W		96-150-15230.8327		
C W		96-150-15850.8321		
europium antimony sulfide	Eu ₆ S ₁₇ Sb ₆	96-220-60950.8284		
Selenium	Bi ₂ O ₃	96-900-98510.8245		
	Se	96-901-31320.8226		
	B ₂ Cs ₂ Ga ₂ O ₇	96-200-33270.8193		
Andorite VI	Hf Se ₄ Ti ₄	96-432-41350.8138		
	Ag Pb S ₆ Sb ₃	96-900-83860.8127		
scandium tellurium trioxide fluoride	Ag ₇ As ₈ Fe ₃ O ₂₈	96-705-16740.8125		
	F O ₃ Sc Te	96-201-66940.8117		
Bytownite	O ₄₅ P ₉ V ₁₂	96-400-13920.8117		
	Al _{7.76} Ca _{3.44} Na _{0.56} O ₃₂ Si _{8.24}	96-901-12020.8117		
Pentarubidium heptahydrogentetrakis(phosphate)	H ₇ O ₁₆ P ₄ Rb ₅	96-100-71460.8116		
Pierrotite	As ₂ S ₈ Sb ₃ Ti	96-901-14480.8116		
Clinokurchatovite	B ₂ Ca Fe _{0.11} Mg _{0.89} O ₅	96-901-19010.8116		
Copper(II) manganese(II) orthophosphate	Cu _{0.5} Mn _{2.5} O ₈ P ₂	96-201-80060.8115		
	Cs _{11.26} Fe ₁₄ K _{6.74} O ₈₀ P ₂₀	96-400-15710.8115		
	As _{2.45} Pb S ₆ Sb _{0.55} Ti	96-901-28720.8115		
Jentschite	Ba Cr ₃ Cs F ₁₂	96-100-02700.8114		
Caesium barium phyllo-dodecafluorotrichromate(III)	Nb ₁₀ O ₄₁ Pb ₄ Te ₆	96-431-12500.8114		
Lead Niobium Tellurium Oxide	Ni O	96-101-03820.8113		
Nickel oxide	C ₁₂ Br ₁₀ O	96-200-92950.8113		
Decabromodiphenylether	C As F ₆ I N S ₃	96-710-11810.8113		
	Ni O	96-101-00940.8112		

potassium aluminophosphate	Al ₃ K ₉ O ₂₄ P ₆	96-222-58300.8112
Bunsenite	Ag _{1.5} Mo _{1.25} O _{6.75} U _{0.75}	96-431-83500.8112
nickel zinc oxide	Ni O	96-900-86940.8112
Izoklakeite	Ni _{0.9} O Zn _{0.1}	96-230-02940.8111
Lime	Bi _{11.536} Cu _{1.3} Fe _{0.7}	96-900-10910.8111
Montbrayite	Pb _{27.684} S ₅₇ Sb _{6.78}	96-900-67280.8111
Beta-Thallium Uranyl Tellurite	Ca O	96-901-15830.8111
lanthanum erbium sulfide	Au ₂ Te ₃	96-431-87350.8110
Octastrontium bis [trinitridomanganate(IV)]	O ₈ Te ₂ Ti ₂ U	96-400-11510.8109
[trinitridomanganate(III)]	Mn _{0.67} Sb ₁₁ Yb ₁₄ Zn _{0.33}	96-400-12940.8109
	Er ₃ La ₃ S ₉	96-810-29900.8109
	Mn ₃ N ₉ Sr ₈	96-810-05230.8107
	C _{9.71} B ₈ La ₁₀	

and 154 others...

Search-Match

Settings

Reference database used	COD-Inorg REV81284 2013.04.15
Automatic zeropoint adaptation	Yes
Minimum figure-of-merit (FoM)	0.60
Parameter/influence 2theta	0.50
Parameter/influence intensities	0.50
Parameter multiple/single phase(s)	0.50

Criteria for entries added by user

Reference:

Entry number:

96-100-0029;96-101-1140;96-101-1186;96-200-9594;96-200-9595;96-810-0405;96-900-3319;96-900-3320;96-900-3321;96-900-3322;96-900-3323;96-900-3324;96-900-3325;96-900-3326;96-900-3327;96-900-3328;96-900-3329;96-900-3330;96-900-3331;96-900-3332;96-900-4169;96-900-5051;96-900-5052;96-900-5053;96-900-5054;96-900-5742;96-901-3321;96-710-5576;96-810-3040;96-810-3041;96-810-3042;96-900-1038;96-900-1322;96-900-1323;96-900-1568;96-900-1622;96-900-2408;96-900-2661;96-900-2662;96-900-5502;96-900-5503;96-900-5504;96-900-5505;96-900-8406;96-901-0160;96-901-0161;96-901-3387;96-900-0368;96-900-0369;96-900-0370;96-900-0371;96-900-0372;96-900-0373;96-900-2542;96-900-2543;96-901-1470;96-901-1471;96-210-2128;96-210-2129;96-210-2130;96-210-2131;96-400-1091;96-410-8799;96-411-0503;96-411-2883;96-411-8509;96-710-8283;96-710-8284;96-710-8285;96-710-8286;96-710-8287;96-710-8288;96-710-8289;96-710-8290;96-710-8291;96-710-8292;96-710-8293;96-810-1550;96-900-5061;96-900-5062;96-900-5063;96-900-5064;96-900-8159;96-900-8213

Peak List

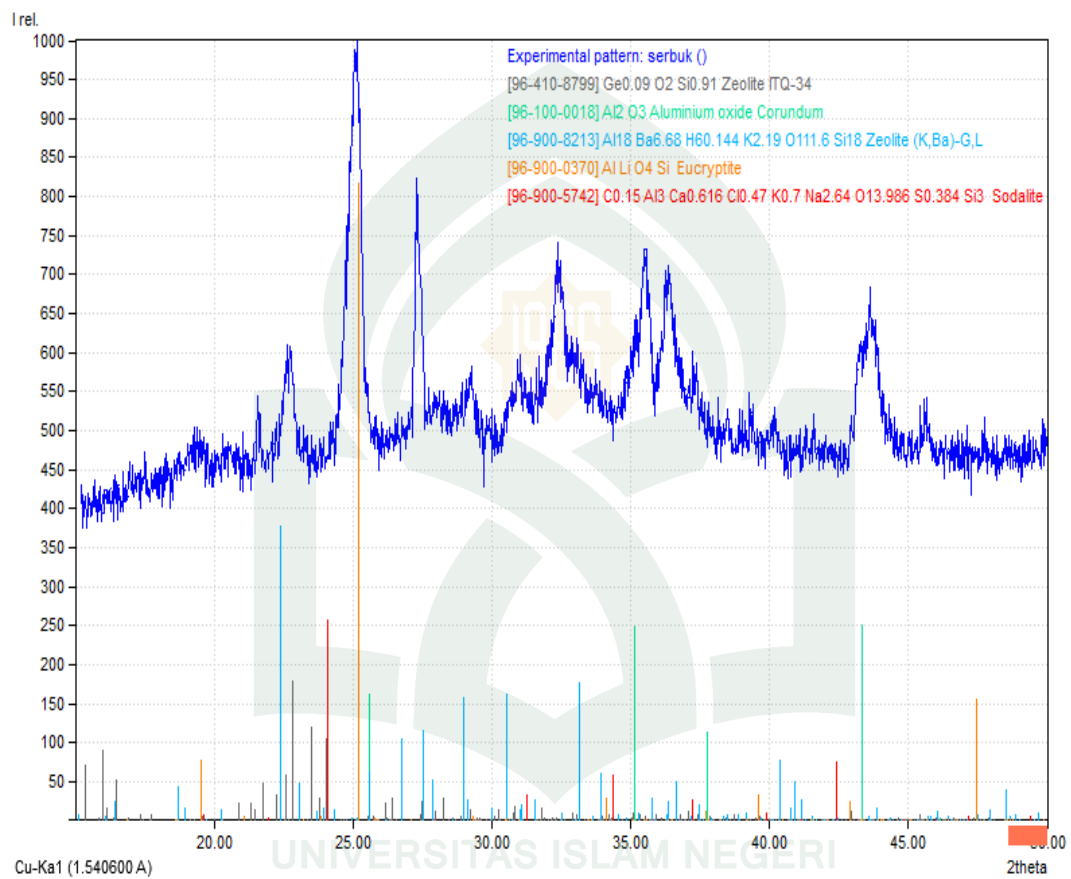
No.	2theta [°]	d [Å]	I/I0	FWHM	Matched
1	19.49	4.5501	140.33	1.0000	A,C,D,E
2	21.57	4.1174	141.23	1.0000	A,D,E
3	22.44	3.9588	136.37	1.0000	A,C
4	22.54	3.9413	202.38	1.0000	A
5	22.62	3.9276	250.04	1.0000	A
6	22.73	3.9098	265.01	1.0000	
7	22.84	3.8908	197.49	1.0000	A,C,D
8	24.61	3.6151	240.70	1.0000	A,C,D,E
9	24.67	3.6062	291.81	1.0000	A
10	24.74	3.5961	417.78	1.0000	
11	24.80	3.5879	542.03	1.0000	
12	24.89	3.5748	664.82	1.0000	
13	25.04	3.5528	955.10	1.0000	C
14	25.09	3.5469	991.63	1.0000	A
15	25.16	3.5367	1000.00	1.0000	
16	25.23	3.5265	802.03	1.0000	C,D
17	25.46	3.4958	162.49	1.0000	A,B,C,D
18	27.30	3.2637	602.50	1.0000	A,C,D
19	27.43	3.2485	408.06	1.0000	A,C
20	29.16	3.0596	159.84	1.0000	A,C,E
21	29.26	3.0500	191.73	1.0000	A,D
22	30.80	2.9004	136.54	1.0000	A,C,D
23	30.93	2.8891	191.14	1.0000	A,D
24	31.16	2.8678	142.70	1.0000	A,C,E
25	31.72	2.8186	151.14	1.0000	A,C
26	31.88	2.8051	144.03	1.0000	A
27	31.98	2.7964	196.69	1.0000	
28	32.12	2.7848	247.97	1.0000	A
29	32.17	2.7804	273.14	1.0000	
30	32.24	2.7741	320.89	1.0000	A
31	32.36	2.7645	436.47	1.0000	A
32	32.57	2.7467	343.17	1.0000	A,C
33	32.66	2.7398	232.36	1.0000	A
34	32.70	2.7363	218.68	1.0000	
35	32.83	2.7258	213.24	1.0000	
36	32.95	2.7158	186.09	1.0000	A,C
37	33.08	2.7055	222.74	1.0000	A,C
38	33.28	2.6899	166.80	1.0000	A,C,D
39	35.02	2.5600	189.85	1.0000	A,C,D,E
40	35.20	2.5473	245.21	1.0000	A,B
41	35.31	2.5396	234.89	1.0000	A,C
42	35.43	2.5316	372.83	1.0000	
43	35.56	2.5228	417.20	1.0000	A
44	35.74	2.5103	212.27	1.0000	A,C,E
45	36.05	2.4896	185.83	1.0000	A,C
46	36.24	2.4766	369.42	1.0000	A
47	36.36	2.4687	382.96	1.0000	A,C,D
48	36.50	2.4597	307.57	1.0000	A,D
49	36.62	2.4519	216.55	1.0000	A,C
50	36.74	2.4442	187.73	1.0000	A
51	36.86	2.4365	157.07	1.0000	A
52	37.24	2.4125	140.37	1.0000	A,C,E
53	37.38	2.4040	143.41	1.0000	A,B,C,D
54	43.12	2.0960	216.37	1.0000	A,B,C,D,E
55	43.24	2.0909	296.80	1.0000	A,D

56	43.42	2.0825	316.87	1.0000	A,B,D
57	43.57	2.0756	352.76	1.0000	A,C
58	43.70	2.0698	356.97	1.0000	A
59	43.80	2.0651	344.25	1.0000	A
60	43.94	2.0588	224.53	1.0000	A,C,D
61	44.09	2.0524	162.07	1.0000	A,C,D
62	45.44	1.9945	141.65	1.0000	A,C,D,E
63	45.58	1.9885	177.06	1.0000	A
64	45.74	1.9821	168.14	1.0000	A,C,D
65	46.01	1.9712	138.16	1.0000	A,C
66	46.20	1.9634	164.50	1.0000	A,B
67	46.34	1.9576	207.58	1.0000	A,C,D
68	46.54	1.9499	195.94	1.0000	A,C,D
69	46.68	1.9443	181.89	1.0000	A,D
70	46.84	1.9380	200.13	1.0000	C
71	46.94	1.9341	247.32	1.0000	A
72	47.10	1.9280	248.37	1.0000	C,E
73	47.30	1.9203	241.06	1.0000	A
74	47.40	1.9164	244.57	1.0000	A,D
75	47.54	1.9111	227.45	1.0000	A,C
76	47.67	1.9063	279.07	1.0000	A
77	47.86	1.8992	261.80	1.0000	A
78	47.97	1.8948	232.68	1.0000	A,C
79	48.06	1.8915	253.12	1.0000	A
80	48.19	1.8869	234.12	1.0000	
81	48.37	1.8801	193.20	1.0000	
82	48.52	1.8748	197.93	1.0000	C,D
83	48.62	1.8711	192.16	1.0000	

Rietveld Refinement using FullProf



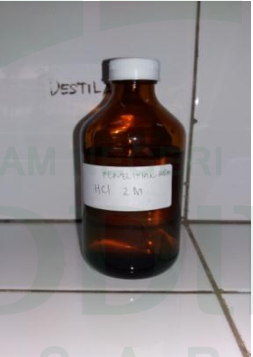
Calculation was not run or did not converge.

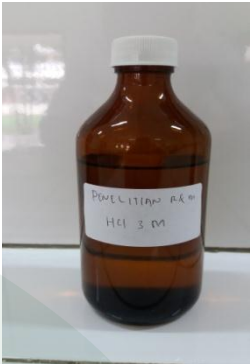
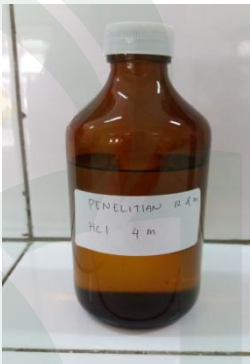
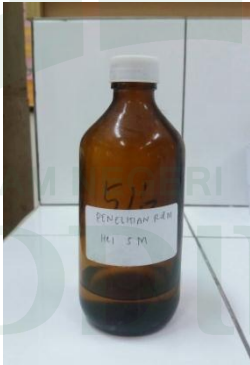
Diffraction Pattern Graphics






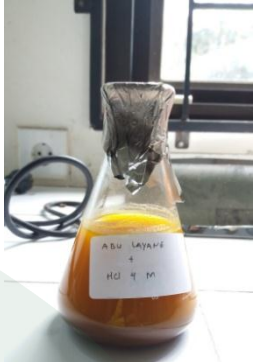


UNIVERSITAS ISLAM NEGERI
ALAUDDIN
MAKASSAR

Lampiran 6. Dokumentasi penelitian




No	Jenis Perlakuan	Gambar
1.	Abu layang diayak	
2.	Abu layang ditanur	
3.	pembuatan larutan HCl 2M	

4.	Pembuatan HCl 3M	
5.	Pembuatan HCl 4M	
6.	Pembuatan HCl 5M	



7.	Abu layang ditimbang	
8.	Abu layang direndam dengan HCl 2M	
9.	Abu layang direndam dengan HCl 3M	

10.	Abu layang diendam dengan HCl 4M	
11.	Abu layang direndam dengan HCl 5M	
12.	Abu layang dishaker	

13.	Abu layang disaring	
14.	Abu layang dibilas dengan aquadest	
15.	Didiamkan sampai airnya habis	

16.	Abu layang dikeringkan dalam oven	
17.	Pembuatan larutan natrium silikat	
18.	Pembuatan larutan natrium aluminat	

19.	Penambahan natrium aluminat pada larutan natrium silikat	
20.	Larutan alumino silikat dishaker	
21.	Larutan alumino silikat dihidrotermal dalam autoklaf	

22.	Hasil hidrotermal dipisahkan padatan dan cairan	
23.	Padatan hasil hidrotermal kemudian disebut ZS1#2M, ZS2#3M, ZS3#4M dan ZS4#5M	

RIWAYAT HIDUP



Penulis bernama lengkap Marwan Kadir Tualeka. Penulis dilahirkan di kota Ambon, Maluku pada tanggal 10 Maret 1995 dari Ayah yang bernama Muhammad Tualeka, SE. dan Ibu bernama Dra. Nurlaila Gersee. Penulis merupakan Anak ketiga dari 4 bersaudara. Penulis memulai jenjang pendidikan formalnya disalah satu Sekolah Dasar (SD) yang berada di kota ambon. Tepatnya SD Inpres 19 Ambon dan menyelesaikan pendidikan dasarnya pada tahun 2006. Kemudian penulis melanjutkan pendidikan di SMP Negeri 2 Ambon dan selesai pada tahun 2009. Setelah itu penulis melanjutkan pendidikan di SMA Negeri 13 Ambon dan selesai pada tahun 2012. Pada tahun yang sama, 2012, penulis melanjutkan pendidikan ke jenjang yang lebih tinggi dengan memasuki Perguruan Tinggi Negeri, yaitu di Universitas Islam Negeri (UIN) Alauddin Makassar dengan program studi Sains Kimia di Fakultas Sains dan Teknologi dan menyelesaikan tugas akhir skripsi dengan judul **“SINTESIS ZEOLIT DARI ABU LAYANG (*Fly Ash*) DENGAN METODE HIDROTHERMAL DAN UJI ADSORBTIVITAS TERHADAP LOGAM TEMBAGA (Cu)”**. Tepat pada tanggal 30 November 2016, penulis telah berstatus alumni pada universitas tersebut.